

# 風と波を考慮した海岸堤防の形状と構造に関する研究

大阪市立大学工学部教授 工学博士 永井莊七郎  
同 助手 上田伸三

## 1. 緒 言

種々な水深にある海岸堤防法面における波のはい上り高さ、反射波頂の高さ、越波の状況などについては建設省土木研究所、京都大学防災研究所、農林省九州農業試験場において優れた研究がなされ<sup>1), 2), 3)</sup>、その結果は第1回(昭和29年、1954年)、第2回、第4回および第5回の海岸工学講演会において発表された。

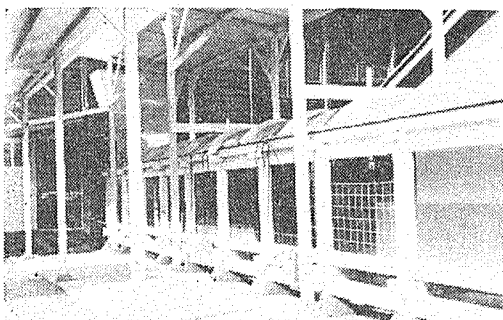
またアメリカ合衆国においても Beach Erosion Board などで研究され<sup>4)</sup>、proc. of ASCE (1956年、1958年) に発表された。これらの研究結果は要約して水理公式集および海岸保全施設設計便覧(とともに昭和32年度版)に記載されている。しかしこれらの資料はすべて無風状態における実験によって総められたものであつて、実際の海岸におけるごとく強風と波浪とを同時に受ける海岸堤防の実験としては、重要な外力を除いた実験といわざるをえず、その結果をただちに実際に適用するにはなお疑問があつた。

それ故、当研究室においては伊勢湾台風の後、風洞つき波浪水槽を造り、強い風と波とを同時に起し、これを種々の条件のもとに海岸堤防に衝突させて、堤防法面における波のはい上り高さ、しぶきの越す状況、越波の状況などを調べた。その結果、無風状態において求められた従来の実験結果とあまり変わらないものもあつたが、越波などのごとく風の影響を強く受ける現象においては非常に違った結果を得た。このことについては理論的にも説明出来る。風洞実験は風、波、構造物とも実物の1/20の縮尺で、Froudeの相似律を用いて行つた。実験水槽の現象が完全に暴風時の現地の現象を再現しているとはいえないが、従来の無風状態で行われた実験より遙かに実際に近いといつてよいであろう。その1例として須磨一塩屋間の海岸堤防における暴風時の碎波状況、波のはい上りおよび越波の状況について、実験と台風時の模様をそれぞれ16 mm 高速度映画と 8 mm 映画に撮影したが、両者は非常によく類似していた(これらの映画の1部は講演のとき、示す積りである)。

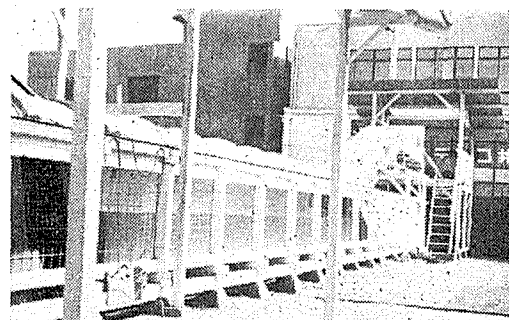
## 2. 実験設備および実験方法

巾1.0 m、長さ23.2 m、高さ1.0 m の片面ガラス張り水槽の1端に周期1.0~2.5 sec、最大波高25 cmまでの波を越しうる造波装置を取り付け、他端に海岸堤防の模型(実物のほぼ1/20)を設置した。水槽の上部は厚さ2.8 mm の duralumin 板の円弧で覆い、造波装置の上部にある送風機(15 HP モーター)から最大ほぼ15 m/sec(実物換算ほぼ67 m/sec)の風を水面に平行に送るようにした。

図-1 (a) 風洞付波浪水槽



(b) 風洞付波浪水槽



海岸堤防の模型およびその前面の海底はすべて木の板で造り、表面にペンキを塗つた。堤防表法の勾配は鉛直、1:0.4、1:0.6、1:1、1:2、1:3 に変え、堤防法先より沖へ4.0 m の区間の海底勾配は常に $\frac{1}{10}$ とした。堤防法先における水深 $h_1=0, 5, 10$  cm (水平底部における水深 $h_0=55, 60, 65$  cm) の場合に、周期 $T=1.2, 1.4$  および $1.9$  sec (現地換算 $T_p=5.4 \sim 6.3$  および $8.5$  sec)、波高 $H=6 \sim 16$  cm (現地換算 $H_p=1.2 \sim 3.2$  m)、

$H/L=0.015 \sim 0.080$  の波を起し、同時に風速  $V=0, 2.2, 4.5$  および  $6.7 \text{ m/sec}$  (現地換算  $V_p=0, 10, 20$  および  $30 \text{ m/sec}$ ) の風を起して海岸堤防に衝突させた。波高は法先から沖へ  $2.1 \text{ m}$  と  $5.5 \text{ m}$  の地点で電気式波高計を用いて測定し、 $5.5 \text{ m}$  地点の波高を堤防前面における碎波前の進入波の波高として  $H$  で表わし、これに対する深海波の波高を計算して  $H_0$  で表わした。風速は予備実験において、波浪上部の鉛直分布および方向を堤防前面の  $2 \sim 3$  断面で測定したところ、堤防から  $2 \text{ m}$  以上沖測では場所による変化はほとんどなく、また鉛直方向においても、波の山から  $5 \text{ cm}$  以上離れると、ほぼ一様であつて、風向も静水面にはほぼ平行であつたので、本実験においては堤防法先から沖へ  $4.5 \text{ m}$  の断面の中央で、法先の高さから  $26 \text{ cm}$  上方の点にピトー管(内径  $6 \text{ mm}$ )を固定し、その風速をもつて堤防沖合の風速とした(図-2 参照)。

図-2 実験水槽の縦断図

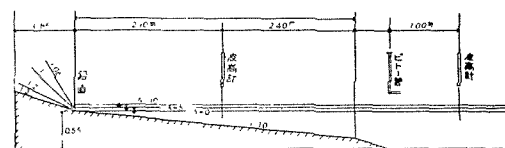
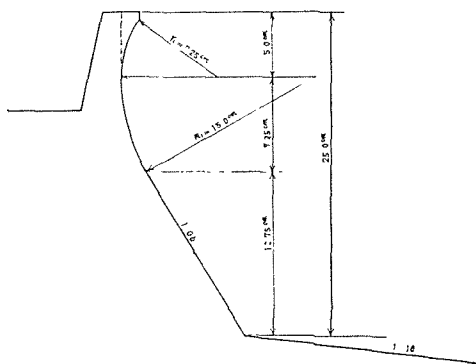


図-3 波返しの効果に関する実験に用いた海岸堤防の断面図



する実験、III. 堤防前面における消波効果に関する実験の3つである。

#### I. 堤防表法面における波のはい上りおよび越波に関する実験

図-2に示すごとく  $1/10$  の斜面上に表法の勾配が鉛直、 $1:0.6, 1:1, 1:2$  および  $1:3$  ( $1:0.4$  も1部) なる海岸堤防の模型(実物のはば  $1/20$  の大きさ、頂部に波返しあるいは鉛直の胸壁部を設けず)を造り、法先における水深  $h_1=0, 5$  および  $10 \text{ cm}$  (水平底部の水深  $h_0=55, 60$  および  $65 \text{ cm}$ )の場合に、周期  $T=1.2, 1.4$  および  $1.9 \text{ sec}$  の波を起し、また風速を  $V_m=0, 2.2, 4.4$  および  $6.7 \text{ m/sec}$  (現地における風速  $V_p=0, 10, 20$  および  $30 \text{ m/sec}$ )に変化して、各々の場合の法面における波のはい上り高さ、しぶきの高さ、越波の状況を測定した。これらの結果を総めると表-1, 2, 3, 4 および 5 の a, b, c のごとくである。各表の a は  $h_1=0$ , b は  $h_1=5 \text{ cm}$ , c は  $h_1=10 \text{ cm}$  の場合である。表-2 の b に相当するものは表-9 である。表の中で、 $R_u$  は法面における静水面上の波のはい上り高さ(鉛直の高さ)、 $R_u/H$  は波高に対する相対的のはい上り高さ、 $S_p$  は多量のしぶきが法面に沿うて飛び上つた高さ、 $S_p/H$  は波高に対する相対的飛び上り高さを示す。衝突点  $x_c$  は堤防からの後退波と冲からの進行波とが衝突した点の堤防法先からの水平距離、碎波点  $x_b$  は堤防法先から碎波点までの水平距離を表わす。

表-1～5 の中で風速が零である場合における  $R_u/H_0$  の値を従来発表された主な実験値と比較したところ、B. E. B. (U. S. A.) の結果とは良く一致し、土研の結果は比較できる資料はわずかであるが、大体において近い。しかし京大防災研の結果とは大部違つている。この実験に用いた水槽および波の規模は B. E. B. のものをほぼ同じであるから、両者の実験結果が良く一致するのは当然であり、土研の実験は海底勾配が  $1/17$  である(堤防法勾配は  $1:2$  の場合だけ比較)、実験値が多少違うのも当然であろう。京大の実験は、実験方法は変わらないように思われるが、水槽および波の規模とも可なり小さいので、著者および B. E. B. の結果と相当違つた値が出たのではないかと考えられる。

風速  $V=0$  の場合における  $R_u/H$  の堤防表法勾配による変化を  $H/L$  および  $h_1/H$  を parameter にして示す

以上のような方法で、堤防法面における波のはい上り高さ、越波状況、堤防前面における碎波状況および進入波と後退波との衝突の状況、堤防からの反射率などを測定した。また碎波後の水分子の進行速度、後退波の後退速度、法面上のはい上り速度などは1秒100駒の16mm高速度映画によつて測定した。法面におけるはい上り高さの実験においては、堤防天端には直立壁あるいは曲線形の波返しは設けなかつた。

風および波を同時に起した場合における堤防天端の曲線形波返しの効果に関する実験は、図-3に示すごとき形状の表法勾配  $1:0.6$  の海岸堤防において、波返し部を半径  $r=7.25$  および  $15.0 \text{ cm}$  の2円弧をつないだ曲線にした場合、ならびに胸壁を直立壁とした場合について、風速  $V=0, 1.1, 2.2, 4.5$  および  $6.7 \text{ m/sec}$  ( $V_p=0, 5, 10, 20$  および  $30 \text{ m/sec}$ )に変化して越波の状況を調べた。

#### 3 実験結果

この実験は大別すると、I. 堤防表法面における波のはい上りおよび越波に関する実験、II. 波返しの効果に関する実験、III. 堤防前面における消波効果に関する実験の3つである。

#### I. 堤防表法面における波のはい上りおよび越波に関する実験

図-2に示すごとく  $1/10$  の斜面上に表法の勾配が鉛直、 $1:0.6, 1:1, 1:2$  および  $1:3$  ( $1:0.4$  も1部) なる海岸堤防の模型(実物のはば  $1/20$  の大きさ、頂部に波返しあるいは鉛直の胸壁部を設けず)を造り、法先における水深  $h_1=0, 5$  および  $10 \text{ cm}$  (水平底部の水深  $h_0=55, 60$  および  $65 \text{ cm}$ )の場合に、周期  $T=1.2, 1.4$  および  $1.9 \text{ sec}$  の波を起し、また風速を  $V_m=0, 2.2, 4.4$  および  $6.7 \text{ m/sec}$  (現地における風速  $V_p=0, 10, 20$  および  $30 \text{ m/sec}$ )に変化して、各々の場合の法面における波のはい上り高さ、しぶきの高さ、越波の状況を測定した。これらの結果を総めると表-1, 2, 3, 4 および 5 の a, b, c のごとくである。各表の a は  $h_1=0$ , b は  $h_1=5 \text{ cm}$ , c は  $h_1=10 \text{ cm}$  の場合である。表-2 の b に相当するものは表-9 である。表の中で、 $R_u$  は法面における静水面上の波のはい上り高さ(鉛直の高さ)、 $R_u/H$  は波高に対する相対的のはい上り高さ、 $S_p$  は多量のしぶきが法面に沿うて飛び上つた高さ、 $S_p/H$  は波高に対する相対的飛び上り高さを示す。衝突点  $x_c$  は堤防からの後退波と冲からの進行波とが衝突した点の堤防法先からの水平距離、碎波点  $x_b$  は堤防法先から碎波点までの水平距離を表わす。

表-1～5 の中で風速が零である場合における  $R_u/H_0$  の値を従来発表された主な実験値と比較したところ、B. E. B. (U. S. A.) の結果とは良く一致し、土研の結果は比較できる資料はわずかであるが、大体において近い。しかし京大防災研の結果とは大部違つている。この実験に用いた水槽および波の規模は B. E. B. のものをほぼ同じであるから、両者の実験結果が良く一致るのは当然であり、土研の実験は海底勾配が  $1/17$  である(堤防法勾配は  $1:2$  の場合だけ比較)、実験値が多少違うのも当然であろう。京大の実験は、実験方法は変わらないように思われるが、水槽および波の規模とも可なり小さいので、著者および B. E. B. の結果と相当違つた値が出たのではないかと考えられる。

風速  $V=0$  の場合における  $R_u/H$  の堤防表法勾配による変化を  $H/L$  および  $h_1/H$  を parameter にして示す

注) 表-1～16(但し表-6を除く)は263～273頁に記載した。

と図-4のごとくである。法面における波のはい上り高さ  $R_u$  の値は、堤防前面における水深  $h_1$  によって著しく変化することはよく知られたとおりであるが、 $R_u/H$  (あるいは  $R_u/H_0$  の値) は  $h_1/L$  (あるいは  $h_1/L_0$ ) よりも  $h_1/H$  (あるいは  $h_1/H_0$ ) によって変化すると考えるのが妥当であると考えられるので、上記の実験値は  $h_1/H$  によって分類した。

鉛直壁においては、 $H/L=0.030$  くらいの緩やかな波では  $h_1/H \geq 0.50$  になると波は壁に衝突して後、大部分の水が壁に沿うてはい上らず、壁から僅かに離れて飛び上り、跳波の現象を示すようになる (図-5 参照)。

このような場合には  $R_u$  を測ることは困難であるから、多量の跳波が飛び上る高さを測定し、その値を  $S_p$  で表わした。図-4 によると  $R_u/H$  は堤防表法勾配が 1:1 の場合が最も大きく、1:0.6 の場合は鉛直の場合より小さくて最小である。1:0.4 の場合についても一部実験を行つたが、1:0.6 の場合とほぼ同じで、鉛直壁の場合より小さい。B.E.B. では 1:1~1:0.4 の実験は行つていないので 1: $1\frac{1}{2}$  勾配の場合が最大で、鉛直壁は 1:4 より急な勾配においては最も小さいと記しているが、著者が無風および風速  $V=2.2 \sim 6.7 \text{ m/sec}$  ( $V_p=10 \sim 30 \text{ m/sec}$ ) の場合について多数の実験で確めたところでは、1:0.6~1:0.4 の場合は鉛直壁より小さいかあるいはほぼ同じであった。

風速  $V_m=2.2 \text{ m/sec}$  ( $V_p=10 \text{ m/sec}$ ), 4.5 m/sec (20 m/sec) および 6.7 m/sec (30 m/sec) における  $R_u/H$  と法勾配との関係を示すと図-6, 7 および 8 のごとくである。

図-6~8 を図-4 と比較すると、 $V_p=10 \text{ m/sec}$  のときは  $V_p=0$  のときとあまり変わらないが、 $V_p=20$  および 30 m/sec になると、 $R_u/H$  の値は全般的に  $V_p=0 \sim 10 \text{ m/sec}$  の場合よりやや減少する。その理由は表-1~5 に記した碎波状況より明らかのように、波の山が風圧に押されて無風のときより早く (すなわち沖側) )

図-6 相対的はい上り高さ  $R_u/H$  と堤防法勾配との関係 ( $V_p=10 \text{ m/sec}$ )

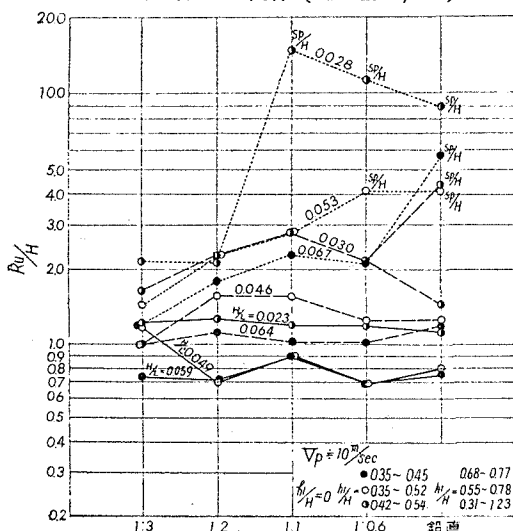


図-4 相対的はい上り高さ  $R_u/H$  と堤防法勾配との関係 ( $V=0$ )

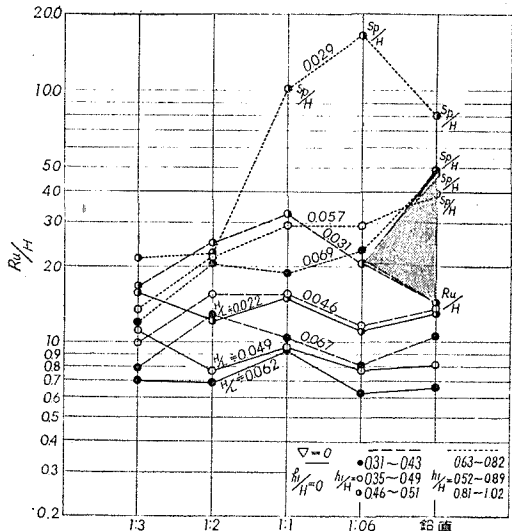


図-5 鉛直壁における跳波現象

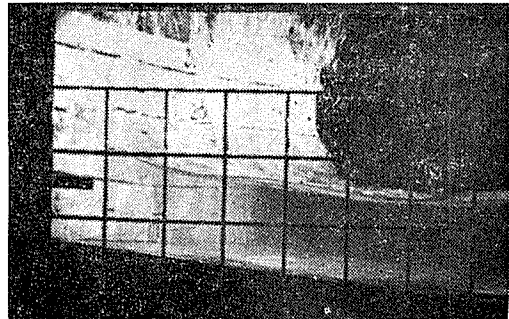


図-7 相対的はい上り高さ  $R_u/H$  と堤防法勾配との関係 ( $V_p=20 \text{ m/sec}$ )

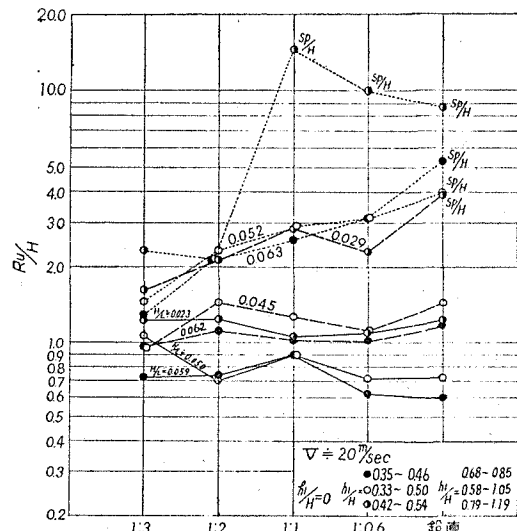
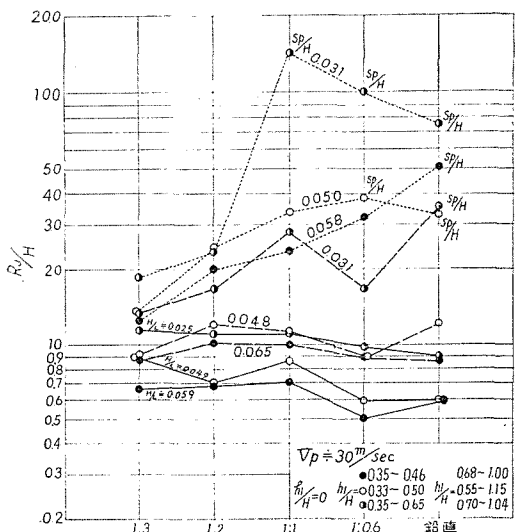


図-8 相対的上り高さ  $R_u/H$  と堤防法勾配との関係 ( $V_p=30 \text{ m/sec}$ )



崩れるために、堤防に達したときの波のエネルギーが減少するからである。このように風が強い場合でも  $1:0.6$  の勾配の場合が一般に  $R_u/H$  の値が最も小さい。

しかし法勾配が  $1:2$  より急な場合には風速  $V_p > 10 \text{ m/sec}$  になると、堤防からの後退波のエネルギーが強くなるので、これが堤防法先から  $x_e = 45 \sim 120 \text{ cm}$  ( $x_e/L = 0.20 \sim 0.30$ ) の附近で進行波と強く衝突し、その跳波が風によって堤防へ吹き付けられるので、堤防天端からの越波については、衝突点からの跳波の飛び込みを考慮しなければならない。図-9のa, b, cは法勾配  $1:1$ 、波の  $T = 1.4 \text{ sec}$ 、 $h_1 = 10 \text{ cm}$  で、 $V_p = 10, 20, 30 \text{ m/sec}$  の場合における後退波と進行波の衝突点における跳波の状況を示す。 $V_p = 20, 30 \text{ m/sec}$  になると跳波は風圧によって堤防へ強く吹きつけられる。

図-10のa, b, c, dは鉛直壁で、 $h_1 = 10 \text{ cm}$ 、 $T = 1.9 \text{ sec}$ 、 $V_p = 0, 10, 20, 30 \text{ m/sec}$  の場合における衝突点の跳波状況を示す。 $V_p = 0$  のときは、跳波はほとんどなく、波頂の1部はむしろ沖側へ崩れる傾向があるが、 $V_p = 10, 20, 30 \text{ m/sec}$  になると、跳波は次第に大

図-10(a) 堤防法勾配鉛直、 $h_1 = 10 \text{ cm}$ 、 $T = 1.9 \text{ sec}$ 、 $V_p = 0 \text{ m/sec}$ 、 $H = 11 \text{ cm}$ 、 $H_s = 0$

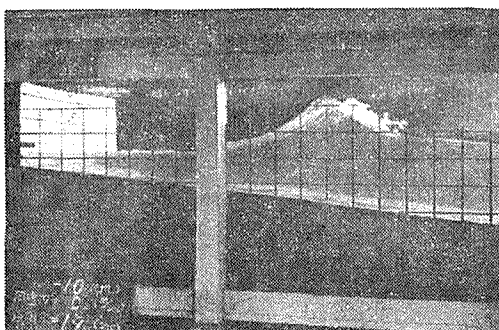
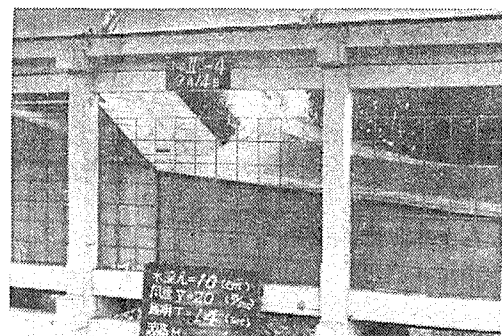


図-9 (a) 堤防法勾配  $1:1$ ,  $h_1 = 10 \text{ cm}$ ,  $T = 1.4 \text{ sec}$ ,  $V_p = 10 \text{ m/sec}$ ,  $H = 10 \text{ cm}$ , 跳波の高さ 静水面 上  $H_s = 40 \text{ cm}$



(b) 堤防法勾配  $1:1$ ,  $h_1 = 10 \text{ cm}$ ,  $T = 1.4 \text{ sec}$ ,  $V_p = 20 \text{ m/sec}$ ,  $H = 10 \text{ cm}$ ,  $H_s = 45 \text{ cm}$



(c) 堤防法勾配  $1:1$ ,  $h_1 = 10 \text{ cm}$ ,  $T = 1.4 \text{ sec}$ ,  $V_p = 30 \text{ m/sec}$ ,  $H = 9 \text{ cm}$ ,  $H_s = 40 \text{ cm}$

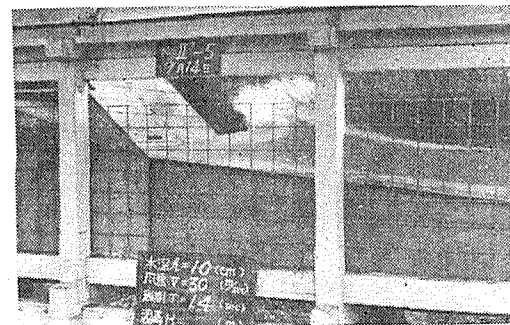
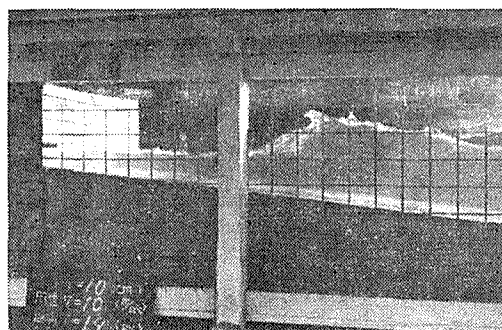
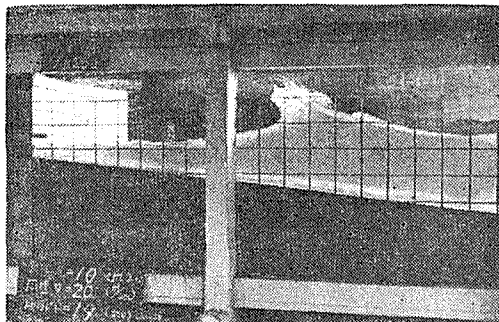


図-10(b) 堤防法勾配鉛直、 $h_1 = 10 \text{ cm}$ 、 $T = 1.9 \text{ sec}$ 、 $V_p = 10 \text{ m/sec}$ 、 $H = 9 \text{ cm}$ 、 $H_s = 13 \text{ cm}$



きくなり、 $V_p=20$  および 30 m/sec では堤防へ強く吹きつけられる。

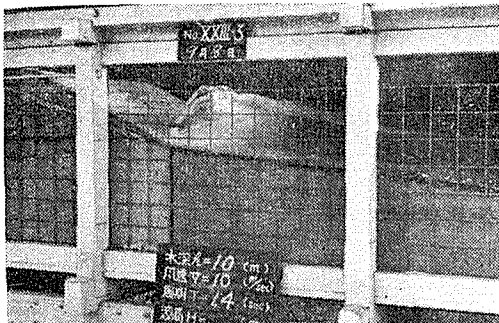
図-10(c) 堤防法勾配鉛直,  $h_1=10$  cm,  $T=1.9$  sec,  $V_p=20$  m/sec,  $H=9$  cm,  $H_s=25$  cm



(d) 堤防法勾配鉛直,  $h_1=10$  cm,  $T=1.9$  sec,  $V_p=30$  m/sec,  $H=10$  cm,  $H_s=25$  cm



図-11(a) 堤防法勾配 1:2,  $h_1=10$  cm,  $T=1.4$  sec,  $V_p=10$  m/sec,  $H=12$  cm



(b)  $V_p=20$  m/sec,  $H=11$  cm



(c)  $V_p=30$  m/sec,  $H=11$  cm

堤防法勾配が 1:2 およびそれより緩やかになると、後退波と進行波との衝突は非常に弱くなり、波は法先より  $x_b=0 \sim 15$  cm ( $x_b/L=0 \sim 0.06$ ) の附近で碎けて、法面をはい上る。図-11 の a, b, c は法勾配 1:2 で、 $h_1=10$  cm,  $T=1.4$  sec,  $V_p=10, 20$  および 30 m/sec の場合における堤防法先附近の碎波状況を示す。

次に  $R_u/H$  と  $H/L$  との関係を  $V_p=0, 10, 20$  および 30 m/sec の場合について求めると 図-12, 13, 14 および 15 のごとくである。

図-12~15 によると、無風のときも強風のときも、 $R_u/H$  の値は  $H/L$  が小さい波ほど大きくなっている。このことは無風時についての従来の実験においてすでに証明されたことであるが、強い風が吹いたときでもこの傾向は変りなく、風速の大小に関係なく、 $H/L=0.020 \sim 0.070$  ( $H_0/L_0=0.015 \sim 0.070$ ) の範囲の波においては、両者の間には近似的に次式の関係が成り立つことが明らかになつた。その理由は  $H/L$  が小さい波は大きい波よりも碎波点 ( $x_b$ ) の場所が堤防に近いために、堤防に達した波のエネルギーが大きいからであると考えられる（表-1~5 の  $x_b$  の値参照）。

$$\frac{R_u}{H} \propto \left( \frac{H}{L} \right)^{-1/2}$$

あるいは

$$\frac{R_u}{H_0} \propto \left( \frac{H_0}{L_0} \right)^{-1/2}$$

この関係は B. E. B. の実験においては、法勾配 1:1.5~1:6 および鉛直壁の場合にも近似的に成り立つている。

図-12~15 によると、 $h_1/H$  が増すと  $R_u/H$  は急激に増大し、 $H/L < 0.040$  ( $H_0/L_0 < 0.036$ ) の緩やかな波においては、法勾配が 1:2 より急な場合は、 $h_1/H \geq 0.50$  になると、はい上りよりも跳波が著しくなる。

#### 堤防からの反射率

堤防への進行波の波高  $H$  (堤防から 5.5m 沖の点で Oscillograph で記録) に対して堤防からの反射波の波高  $H_r$  (堤防から沖へ 3.0~3.5m の点で目測) を測定し、反射率  $r=H_r/H$  を求めた結果は 表-1~5 の a, b, c に示すことである。この  $H_r$  は目測である上に、

(c)  $V_p=30$  m/sec,  $H=11$  cm



測定が困難であるから、 $r$  の値はごく大体の値にすぎず、他の実験値に比して精度はかなり低い。反射率  $r$  と堤防前面の相対的水深  $h_1/L_0$  との関係を堤防法勾配によって分類して図示すると図-16, 17, 18, 19 および 20 のごとくである。

図-16～20 に京大防災研における実験値をも記入した。それらも目測による値であるから、当研究室における値とかなり違っている場合があるのは止むをえないと思われるが、大体の傾向は似ている。すなわち

(a) 堤防法勾配が 1:2 (水平に対する傾斜角  $\theta=30^\circ$ ) より急な場合には、反射率はあまり変化しない。鉛直壁

図-12  $R_u/H$  と  $H/L$  との関係 ( $V_p=0$ )

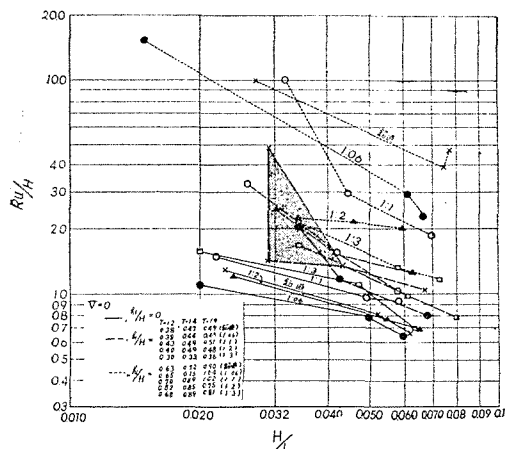


図-14  $R_u/H$  と  $H/L$  との関係 ( $V_p=20 \text{ m/sec}$ )

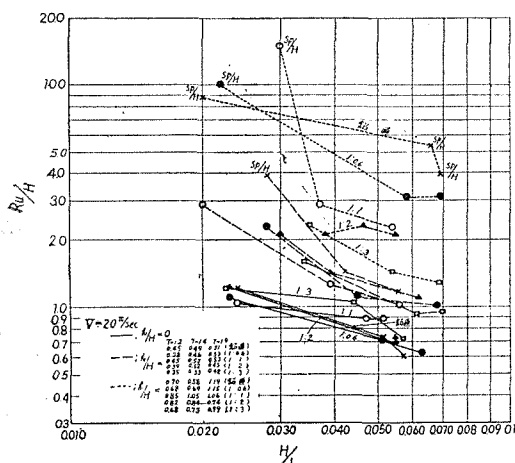


図-16 反射率と  $h_1/L_0$  との関係、堤防法勾配鉛直

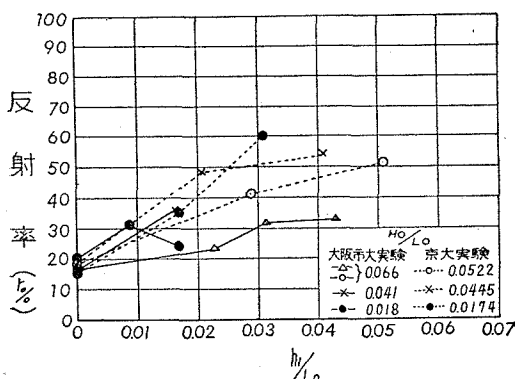


図-13  $R_u/H$  と  $H/L$  との関係 ( $V_p=10 \text{ m/sec}$ )

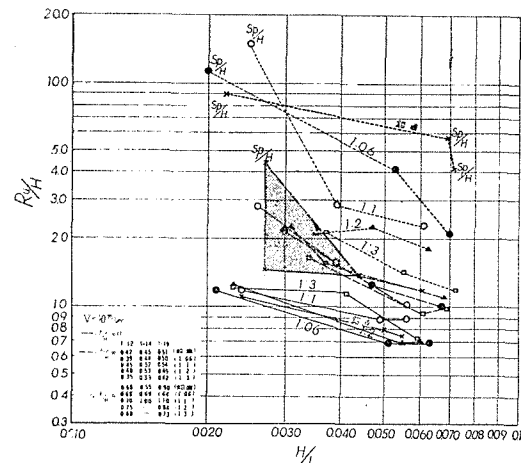


図-15  $R_u/H$  と  $H/L$  との関係 ( $V_p=30 \text{ m/sec}$ )

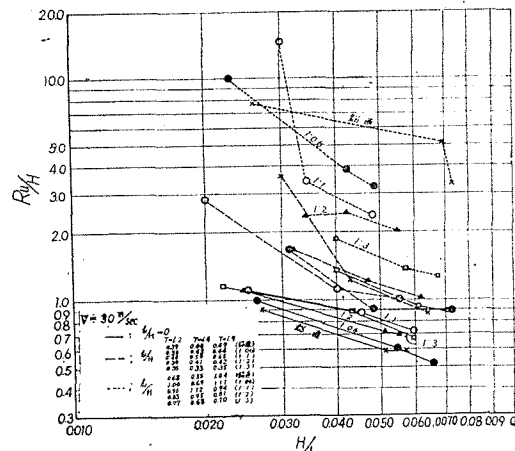


図-17 反射率と  $h_1/L_0$  との関係、堤防法勾配 1:0.6

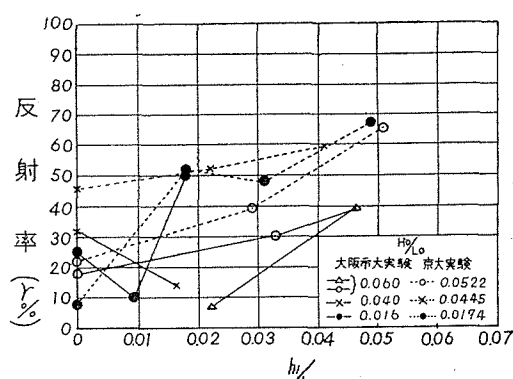
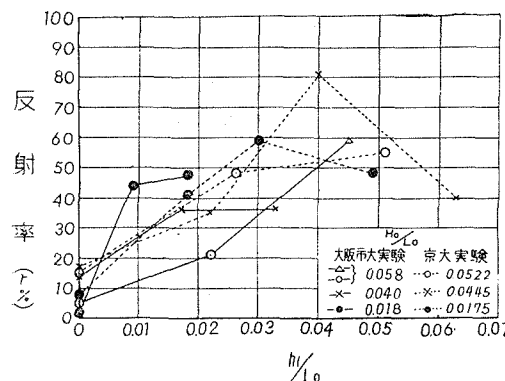


図-18 反射率と  $h_1/L_0$  との関係、堤防法勾配 1:1

が特に反射率が大きいという傾向はない。

- (b) 堤防法勾配が 1:3 ( $\theta = 20^\circ$ ) になると反射率は急に減少する。
  - (c) 堤防前面の水深  $h_1$  が大きくなると、反射率はそれに比例して増大するが、 $h_1$  が碎波水深以上になると  $r$  は急に増大する。
  - (d) 風速による反射率の影響は必ずしも明瞭ではないが、 $V_p = 10 \sim 30 \text{ m/sec}$  のときは反射率はいくらか減少するようである。
- 以上の (a), (b), (c) のことは Greslou および Mahe の実験<sup>5)</sup>によつても確められたことである。

## II 波返しの効果に関する実験

### (1) 理論的考察

いま図-21 のごとく曲線波返しの頂点  $O$  を原点に、 $x$  軸を水平に冲向きに、 $y$  軸を鉛直上向きにとり、質量  $m$  なる水塊に働く風力を  $P$ 、重力の加速度を  $g$  で表すと運動方程式は次のようになる。

$$m \frac{d^2x}{dt^2} = -P \quad \dots \dots \dots (1)$$

$$m \frac{d^2y}{dt^2} = -mg \quad \dots \dots \dots (2)$$

水塊を半径  $r$  なる球とすると、 $m = \frac{4}{3}\rho\pi r^3$ 、風速を  $V$  で表わすと、

$$P = \zeta \cdot w_0 \cdot \pi r^2 \cdot \frac{V^2}{2g}$$

式中の  $w_0 =$  水の単位体積の重量  $= \rho g$  であるから

$$P = \frac{1}{2} \cdot \zeta \cdot \rho \cdot \pi r^2 \cdot V^2 \quad \dots \dots \dots (3)$$

(3) 式を(1)式に代入すると、

$$\frac{d^2x}{dt^2} = -\frac{3}{8} \cdot \frac{\zeta}{r} \cdot V^2 \quad \dots \dots \dots (4)$$

風速は波が堤防天端から飛び上り落下するまでの短い時間は一定であると考えてよいから、時刻  $t=0$  において、 $dx/dt = v_0 \cos \theta_0$  なる条件を入れると、

$$\frac{dx}{dt} = -\frac{3}{8} \cdot \frac{\zeta}{r} \cdot V^2 \cdot t^2 + v_0 \cdot t \cdot \cos \theta_0 \quad \dots \dots \dots (5)$$

$t=0$  においては  $x=0$  であるから、

$$x = -\frac{3}{16} \cdot \frac{\zeta}{r} \cdot V^2 \cdot t^2 + v_0 \cdot t \cdot \cos \theta_0 \quad \dots \dots \dots (6)$$

水塊が波返しの頂点を離れて後、風圧に押されて再び頂点へ戻つて来るまでの時間を  $t_0$  とすると、(6)式より、

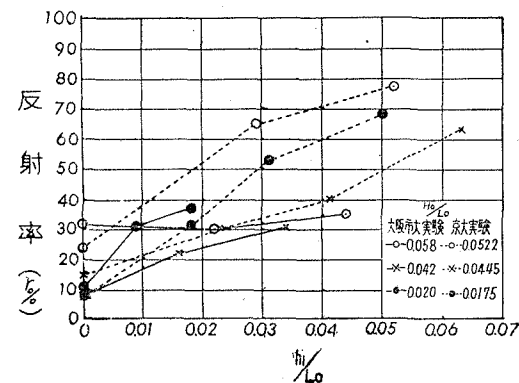
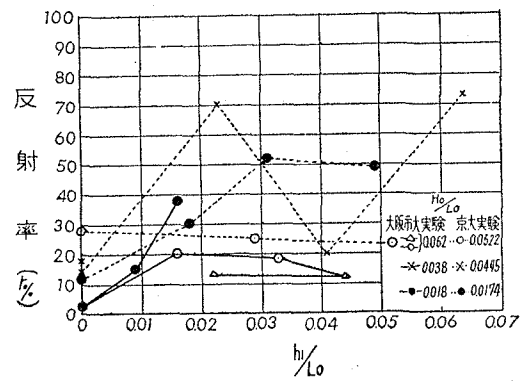
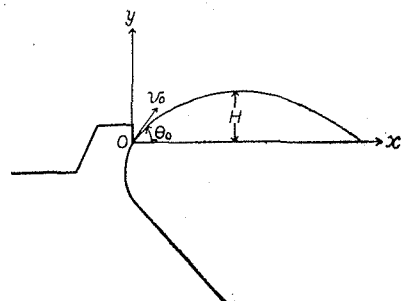
図-19 反射率と  $h_1/L_0$  との関係、堤防法勾配 1:2図-20 反射率と  $h_1/L_0$  との関係、堤防法勾配 1:3

図-21



$t > t_0$  の時刻においては  $x < 0$  になる。すなわち水塊は海岸堤防の内側に飛び込む。

いま  $V_p = 10$  および  $20 \text{ m/sec}$ ,  $v_0 = 4 \text{ m/sec}$ ,  $r = 5, 25, 50 \text{ cm}$ ,  $\theta_0 = 50^\circ$  および  $60^\circ$  の場合について  $t_0$  および  $t_0 \cdot v_0 \cdot \cos \theta_0$  の値を求める表一6のごとくである。

表-6 ( $v_0 = 4 \text{ m/sec} = \text{一定}$ )

V (m/sec)	$\theta_0$	$d=5\text{ cm}$		$r=25\text{ cm}$		$r=50\text{ cm}$	
		$t_0(\text{sec})$	$t_0 \cdot v_0 \cdot \cos \theta_0$ (m)	$t_0(\text{sec})$	$t_0 \cdot v_0 \cdot \cos \theta_0$ (m)	$t_0(\text{sec})$	$t_0 \cdot v_0 \cdot \cos \theta_0$ (m)
10	50°	0.027	0.07	0.136	0.35	0.272	0.70
	60°	0.021	0.04	0.107	0.21	0.214	0.43
20	50°	0.007	0.02	0.034	0.09	0.068	0.17
	60°	0.005	0.01	0.027	0.05	0.053	0.11

表-6により明らかなように、風速  $V=10 \text{ m/sec}$  では波返しの効果は僅かにあると考えられるが、 $V>10 \text{ m/sec}$  では波返しの効果はほとんどないと考えられる。このことは次に示す実験結果によつて明瞭に証明されている。

(2) 式より水塊が上昇する最大の高さ  $y_{max}$  は次式で与えられる。

$$y_{max} = \frac{1}{2g} \cdot v_0^2 \cdot \sin^2 \theta_0 \quad \dots \dots \dots \quad (8)$$

実験によると、しぶきは(8)式の値より高く上るが、連続した水塊が上昇する高さは、ほぼ(8)式に等しい。

## (2) 実験結果

(a) 曲線形波返しを有する場合

図-3に示すとおり、堤防法面の上部に  $r=15.0\text{ cm}$  および  $r=7.25\text{ cm}$  の連続円弧の曲線形波返しを有する堤防において、堤防法先の水深  $h_1=10\text{ cm}$ （水平底部の水深  $h_0=65\text{ cm}$ ）の場合に、周期  $T=1.2$  および  $1.4\text{ sec}$  の波を起し、風速  $V=0, 2, 2, 4.5$  および  $6.7\text{ m/sec}$  ( $V_p=0, 10, 20$  および  $30\text{ m/sec}$ ) の風を送つて跳波および越波の状況を調べた。

$h_1 < 10$  cm の場合には法面における波 ( $T = 1.2$  および  $1.4$  sec) ののはい上り高さは静水面上  $10 \sim 11$  cm で越波がなく、また  $h_1 > 15$  cm では越波が大き過ぎるため、ともにこの実験には不適当であった。 $h_1 = 10$  cm で、表法面が  $1 : 0.60$  の勾配の斜面においては、 $V = 0 \sim 6.7$  mm/sec における波 ( $T = 1.2$  および  $1.4$  sec) ののはい上り高さ（鉛直高）は静水面上ほぼ  $R_u = 30 \sim 50$  cm であるが、図-3 のごとく斜面の上部に曲線波返しを設けた場合には跳波および越波の状況は図-22 に示すようである。またこれらの実験結果を綴めたものが表-7 である。 $T = 1.9$  sec の波についても実験を行つたが、越波量が多過ぎて波返しの効果を調べるには不適当であったので、図-22 および表-7 から除外した。図-22 によると、堤防よりの後退波と沖からの進行波との衝突点が  $T =$

図-22 曲線波返し堤における跳波および越波の状況

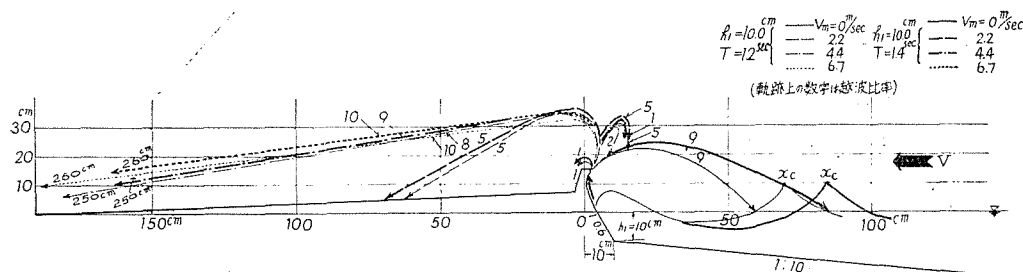
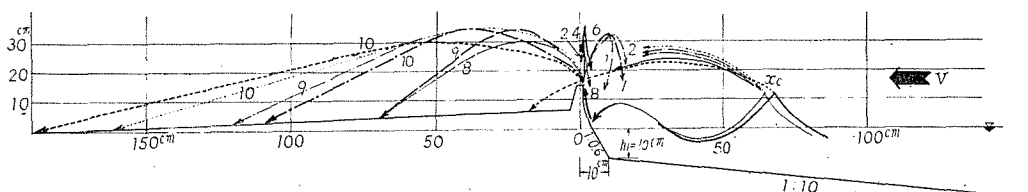


図-23 鉛直胸壁堤における跳波および越波の状況



1.4 sec の波の方が  $T=1.2$  sec の波よりも沖合にあるから、堤防に衝突するときの水分子の速度は前者が僅かに大きいから（高速度映画によつて測定するとその速度は 1.90~2.20 m/sec くらいである）、跳波の高さ、越波および跳返り波の高さ、水平距離ともわずかに大きいが、大体において両波はほとんど同一の傾向を示している。

すなわち無風状態のときは波返しの効果は非常に顕著で、ほぼ 90 % の跳波を海側に跳ね返しているが、 $V_p=10$  m/sec のときは越波量と跳ね返り波の水量とはほぼ同じで、 $V_p \geq 20$  m/sec のときは跳波の 80~100 % が越波して、波返しの効果はほとんどない。

(b) 鉛直胸壁を有する場合

曲線波返しの上部の円弧を鉛直壁にした場合(図-3 参照)における跳波および越波の状況を示すと図-23 のごとくで、その実験結果は表-8 である。

図-23 によると、鉛直胸壁堤では無風状態のときは、跳波は胸壁に沿うて鉛直に上昇してほぼ 20 %が堤内へ、ほぼ 80 %が堤外へ落下するが、 $V_p=10 \text{ m/sec}$  のときは跳波の 80 %が堤内へ越波する。 $V_p \geq 20 \text{ m/sec}$  になると、ほぼ 90~100 %が越波する。これを図-22 と比較すると、 $V_p \leq 10 \text{ m/sec}$  のときには曲線形波返しは越波を減少せしめるのに効果があるが、 $V_p \geq 20 \text{ m/sec}$  のときには跳波のほとんど全部が堤内地へ越波し、鉛直胸壁と何等変わりはないことがわかる。このことは理論的結果とよく一致している。ただ鉛直胸壁堤においては、 $V_p \leq 10 \text{ m/sec}$  のときに跳波のほぼ 80~20 %が堤の表法近くに落下するため、後退波の水量およびエネルギーが大きいので、進入波と激しく衝突し、そのしぶきの1部が堤防天端を越えて堤内へ入る。しかしこれは風速が比較的小さいときであるので越波量も僅かである。

従来、日本およびアメリカで行われた無風状態における実験結果から、海岸堤防には曲線形波返しが越波の減少に非常に効果があることが証明され、最近の海岸堤防はその大部分に曲線波返しが設けられているが、以上の理論的考察および実験結果より、波返しが効果のあるのは風速が 10 m/sec 以下の場合であつて、それ以上の強い風の場合には波返しの効果はほとんどないことが明らかになつた。したがつて、今後は一般の海岸堤防の設計には天端附近は鉛直の胸壁を設けることが工費の上より有利であると考えられる。

### III. 堤防前面における消波効果に関する実験

### (1) 実験目的

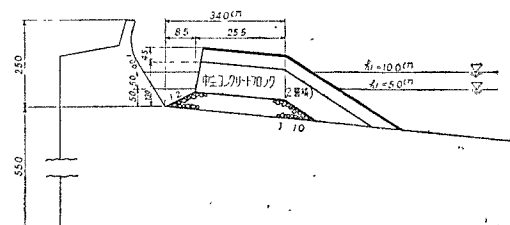
伊勢湾台風の来襲以来、わが国の海岸堤防の設計方針は大きく変革した。すなわち大阪湾、伊勢湾、東京湾などは太平洋に面した重要な湾の沿岸に築造される海岸堤防においては、設計潮位は少くとも室戸台風あるいは伊勢湾台風時における最高潮位にとり、波浪は同台風時の最大有義波をとつて堤防天端を決定するという考え方になった。そのため海岸堤防の高さは従来のものより相当高くなり、その築造費は非常に大きくなつた。

今までの海岸堤防設計の基本的考え方は、堤防を高くして越波を防ぐということであつたから、設計潮位および波高が高くなると、それについて堤防の天端高は高くなり、工費は著しく増大したのであるが、進入波を堤防表法面に直接あてないで、堤防より少し前面あるいは直前で碎波させてそのエネルギーを減殺するようにすれば、設計潮位に対して堤防天端をそれほど高くしなくとも十分に越波を防ぎ得るであろうと考えられたので、堤防前面における消波方法とその効果について実験を行つた。その結果、消波方法が宜しきをえれば、当初予期した以上の著しい消波効果が得られ、消波工作物のない場合に比して堤防天端を相当低くすることが出来るので、工費が安くなることが明らかになつた。

## (2) 基礎実験

図-24 に示すような図-3 と同一の形状の曲線形波返しを有する海岸堤防において、法先における水深  $h_1 = 5\text{ cm}$  の場合に  $T = 1.2, 1.4$  および  $1.9\text{ sec}$  の波を起し、法面における波のはい上り高さ（鉛直高）を測定した結果は表-9 のごとくである。 $h_1 = 10\text{ cm}$  の場合で  $T = 1.2$  および  $1.4\text{ sec}$  の波における越波状況は図-22 および表-7 である。また  $h_1 = 10\text{ cm}$  で、曲線形波返しを設けない  $1:0.6$  勾配の斜面における  $T = 1.2, 1.4$  および  $1.9\text{ sec}$  の波のはい上り高さは表-2(c) のごとくである。

図-24 消波堤を設置した海岸堤防



跳波が堤内へ飛びこむ。 $T=1.9\text{ sec}$  の波になると、跳波および越波はさらに大きくなり、図-24のごとき高さの堤防では、 $V_p>10\text{ m/sec}$  のときは勿論、無風状態のときでも甚しい越波を生じ、堤防は防波の用をなさい。仮りに胸壁の高さを2倍の15cm(現地では3m)にしてもなお、相当量の越波を生ずるであろう。

以上の図および表に示したような法面における波のはい上りあるいは越波を減少するために、図-24に示すごとく堤防前面に1個の重量250gr、高さ7.6cm(実物では重量2t、高さ1.52m)の中空三角錐ブロック(第6回海岸工学講演会講演集参照)を2層積みした平行堤を設置した。その天端は図-24に示すように、 $h_1=5\text{ cm}$ (現地では1.0m)のときは堤防法先より11~13cm(現地では2.20~2.60m)の高さに、 $h_1=10\text{ cm}$ (現地では2.0m)のときは法先より15~17.5cm(現地では3.00~3.50m)の高さに造つた。このような消波平行堤を設置した堤防に、 $T=1.2, 1.4$ および $1.9\text{ sec}$ の波をあてて、法面における波のはい上り高さ $R_u$ および越波状況を測つた結果は表-10および11のごとくである。

表-10と11を比較すると、消波工作物のない場合には $R_u=10\sim21\text{ cm}$ で、 $T=1.9\text{ sec}$ の波の場合がはい上りが最も大きく、この場合には、法面をはい上つた波および進入波と後退波とが衝突した点から相当量の越波を生じている。しかるに消波平行堤を設置した場合には、何れの波においても、また無風のときも強風のときも、波の大部分がブロックの中に吸収されて、波が法面に強くぶつかるることはほとんどない。したがつて $T=1.2$ および $1.4\text{ sec}$ の波の場合には、平行堤と法面との間の水面が5~8cm上昇するだけで、はい上りはほとんどない。また $T=1.9\text{ sec}$ の波の場合には消波効果が最も著しく、ブロック堤内に波のほとんどが吸収されてしまつて、 $R_u=0$ である。ただ何れの波の場合にも、波が平行堤天端の外側にぶつかったとき、しぶきが飛び、その1部分が堤防天端を越える。しかしその水量はわずかである。

表-7(曲線波返し堤、1:0.6法面におけるはい上り高さ、 $h_1=10\text{ cm}$ )および図-22と表-11を比較すると、消波工作物のない場合には、 $T=1.2$ および $1.4\text{ sec}$ の波では、 $V_p>10\text{ m/sec}$ では越波が甚だしくてこの高さの堤防では到底防波できない。 $T=1.9\text{ sec}$ の波では $V=0$ のときでも甚しい越波で、問題にならなかつた。しかるに表-11で明らかなように $T=1.2$ および $1.4\text{ sec}$ の波では $R_u=10\sim12\text{ cm}$ で、波は堤防天端(静水面上15cm)まではい上らず、ただブロック堤の天端にぶつかった波のしぶきがわずかに堤防を越えて飛びこす程度である。また $T=1.4\text{ sec}$ の波では、 $h_1=5\text{ cm}$ の場合と同様、ブロック堤は波をもつともよく吸収し、ブロック堤と堤防表法との間の水面が4~5cm程度上昇するだけである。

以上の実験により明らかなること、堤防前面に中空ブロックによる平行堤を設置すると、その消波効果は予想以上に大きく、特に周期が大きい、波形勾配が緩やかな波(このような波は消波堤がない場合は波のはい上りが大きい)に対して消波効果が著しいことは防波上非常に価値が大きいと考えられる。それ故、設計潮位が高く、設計波浪が大きい海岸堤防の計画には、堤防天端を高くして越波を防ぐよりも、このような消波用平行堤を堤防前面に設置することが、堤防の高さを低くすることが出来て、経済上非常に有利であると考える。ただブロック堤の天端は必ず設計潮位よりも現地において1.0~1.5m高く造る必要がある。

### (3) 応用実験

#### (a) 尼崎港関西電力第三発電所の防潮堤に関する実験

尼崎港防潮堤の外にある関西電力KK第二火力発電所南側の海面(水深大阪港D.L.-2.0~±0m, O.P.+2.4~+0.40m)を埋立てて第三火力発電所が建設されているが、その外廓の防潮堤の形状および構造について、風洞付き波浪水槽を使用して研究を行つた。

設計潮位および波浪は室戸台風時におけるものを対称にとることにしたが、潮位および港における風速とともに正確な実測資料がないので、次のようにして算出した。

##### i) 設計潮位の決定

室戸台風およびジェーン台風の記録によると、台風の中心が阪神地方を通過して後、風向はS~SSWに変わり、それから30~40分後に最高潮位に達している。したがつて両台風ともS~SSW方向の強風による波浪は最高潮位時にはいまだ最大にはなつていないと考えられる。それ故、最高潮位を挟んで2時間(大阪湾の水深20m以上の吹送距離 $F=35\text{ km}$ 、風速 $V=30\text{ m/sec}$ に対する最小吹送時間 $t_{min}=2.2\text{ hr}$ )の平均潮位を設計潮位にとるのが妥当であろうと考えた。

ジェーン台風時の大阪港の潮位曲線(peak時は欠測のため補足)によると、最高潮位を挟んでS~SSW方向の風が強かつた2時間の平均潮位はほぼD.L.+2.80m(当時のO.P.+3.20m、現在のT.P.+2.00m)である。この潮位は天保山における同台風時の最高潮位D.L.+3.45m(当時のO.P.+3.85m)に対してほぼ80%にあたるので、室戸台風のときもこの比率が成り立つと仮定すると、天保山における最高潮位痕跡D.L.+4.75m

(当時の O.P.+5.15 m) に対して最高 2 時間の平均潮位はほぼ D.L.+3.80 m (当時の O.P.+4.20 m) になる。室戸台風時の最高潮位は正確な記録がないが、いくつかの場所の痕跡から推定すると大体において O.P.+4.20 m 前後であったようであるから、最高 2 時間の平均潮位を O.P.+4.20 m にとることは、もし誤差があつても安全側であると考えられるので、この潮位を設計潮位にとつた。これを今の T.P. で表わすと +3.00 m である。

### ii) 設計波浪の計算

室戸台風時に大阪湾の水深  $h \geq 20$  m の海域に発生した波を近似的に深海波として、SMB 法により最大有義波を求める

風向	吹送距離 (km)	平均風速 (m/sec)	波高 $H_{1/3}$ (m)	周期 $T_{1/3}$ (sec)	吹送時間 $t_{min}$ (hr)
SSW	15	33	2.9	6.2	1.75
SW	35	26	3.6	7.2	2.5

である。海岸における屈折、海底における摩擦を考慮して尼ヶ崎港の関電発電所建設予定場所の有義波を求める

風向	$H_{1/3}$ (m)	$T_{1/3}$ (sec)	$L$ (m)	$H/L$
SW	2.5	6.3	56	0.045
SSW	2.4	5.9	51	0.047

(波高および周期の計算は拙著「港湾工学(増補版)」79~89 頁参照)

である。

### iii) 防潮堤の形状および構造の決定

防潮堤建築予定場所の水深はほぼ D.L.-2.0 m で、その沖側約 40 m の海底勾配はほぼ 1/20 である。防潮堤建築場所より沖へ数 10 m 離れた海底の土砂を現地盤より 3 m くらい浚渫して発電所建設予定場所へ埋立を行うので、その付近の水深は D.L.-8.0~10.0 m くらいになる予定である。またこの前面には防波堤はない。

防潮堤断面-I まず最初に実験を行つた防潮堤の断面形は図-25 である。この防潮堤の 1/20 の模型を木で造り、風洞付き水槽の風下側の端に図-26 に示すように取付けた。

図-25 尼ヶ崎港関電防潮堤断面-I

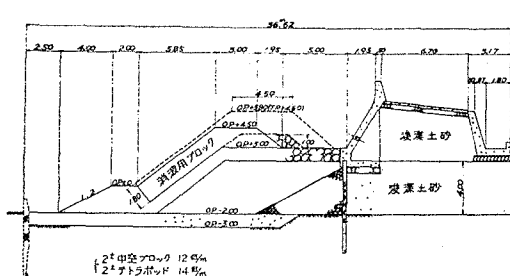
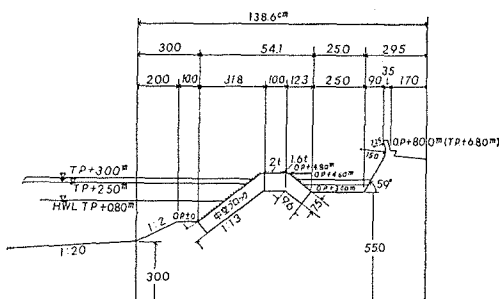


図-26 関電防潮堤断面-I の 1/20 模型



潮位は設計潮位 T.P.+3.00 m とジェーン台風時の最高 2 時間潮位の平均潮位 T.P.+2.00 m との中間の T.P.+2.50 m の 2 つの場合について実験した。波浪は  $H=2.0\sim2.5$  m,  $T=6\sim7$  sec, 風速  $V_p=0$  および 20 m/sec の場合について実験した。堤防前面の消波堤は 1.6 t の中空三角錐ブロックを 2 層積した場合について実験した。そのブロック堤の天端高は T.P.+3.40 m である。実験の結果を示すと表-12 のごとくである。

実験の結果によると、ブロック堤は相当の消波効果があるが、T.P.+3.00 m の場合には、この断面では無風時でも波が堤防天端以上に飛び上り、したがつて  $V_p=20$  m/sec になると相当多量の越波を生じて危険である。

防潮堤断面-II 図-27 のような断面で、堤防表法上に消波ブロック (2 t の中空三角錐および 2 t のテトラポッド) を置いて、潮位を T.P.+2.5 m および +3.0 m の場合について実験を行つた。その結果は表-13 に示すとおりである。

表-13 により明らかなように、潮位が T.P.+2.50 m の場合は、 $V_p=20$  m/sec のときでも、波がブロックに衝突した点から僅かの跳波が堤内へ飛び込む程度であるが、T.P.+3.00 m の場合には、 $V_p=20$  m/sec のときは、中空三角錐ブロック堤では、壁に沿うてのはい上りによる越波はないが、波がブロックに衝突した点からや多くのしぶきが飛びこむ。またテトラポッド堤では、壁に沿うてのはい上りによる多量の越波があるとともに、波がブロックに衝突した点からも相当量のしぶきが飛びこむ。すなわち消波効果は中空ブロックの方が大きい。

**防潮堤断面-III** ブロック堤の天端高は断面-IIと同高にして、その位置を堤防法先より約30cm(現地では6.0m)離して、2tの中空三角錐ブロックおよびテトラポットで図-28のような消波堤を築造すると、胸壁の天端高を断面-IおよびIIと同高であつても、潮位がT.P.+3.00m,  $V_p=20\text{ m/sec}$  のときでも、法面に沿うての波のはい上りはほとんどなく、跳波もほとんど飛びこまない。図-29および30の(a), (b)は波がブロック堤に衝突したときの状況を示す。ブロック堤の消波効果が極めて顕著であるのがよくわかる。

図-27

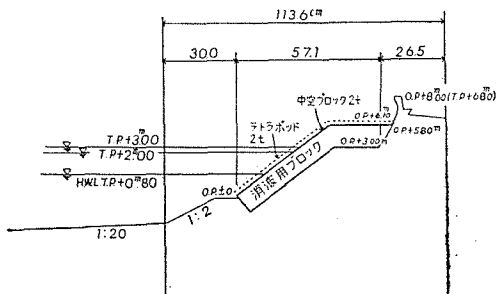
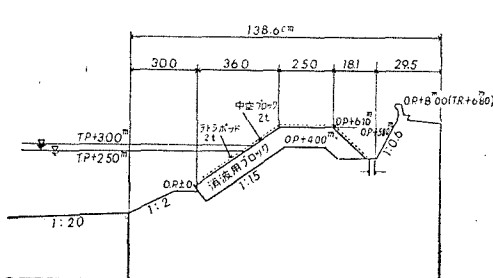
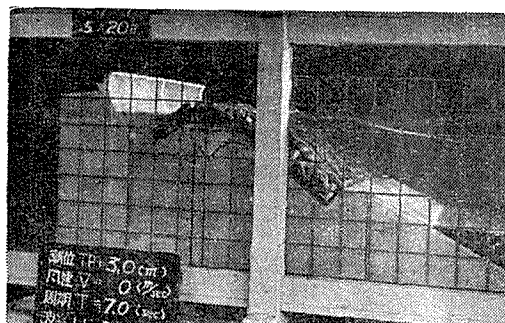
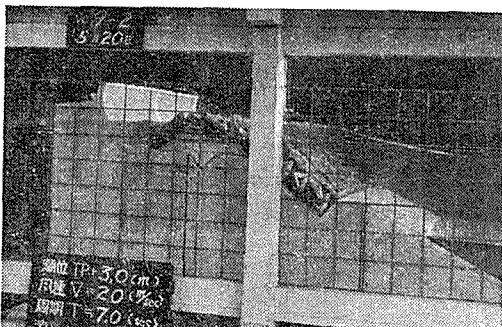
図-29 (a) 中空ブロック堤,  $V_p=0$ 

図-28

(b) 中空ブロック堤,  $V_p=20\text{ m/sec}$ 図-30 (a) テトラポット堤,  $V_p=0$ (b) テトラポット堤,  $V_p=20\text{ m/sec}$ 

(b) 須磨一塩屋間の海岸堤防における防波に関する実験

**現地の状況** 須磨と塩屋間海岸は最近著しい浸食を受け、砂浜が急激に減少して、海岸堤防の根固めが洗掘され、あるいは従来の防砂突堤が破壊されている。そのため潮位が満潮位くらいで、堤防から沖合100mくらいの海域の波高が僅かに1~1.5mであつても、10m/sec以上の南風が吹くと、堤防をはい上った波あるいは波が堤防根固めに衝突して生じた跳波が多量に堤防天端を越えて、国鉄山陽線上に落下するので、同線の電車はしばしば運行を停止している状態である。当研究室においては昭和34および35年度にわたり、この海岸の砂の移動、波浪、潮流などを調査しているが、風洞付き水槽においては、同海岸の堤防および海岸の1/20の模型を作り、波浪、潮位、風速を種々に変えて、台風時における同海岸における越波の状況を再現して、その防止対策について研究した。図-31, 32, 33および34は今年8月8日撮影した同海岸の状況である。

その直後の8月11日、台風11号のときに撮影した写真が図-35, 36および37である。このときの潮位は満潮位よりもやや高いくらいで、風は南から10m/sec前後であつた。



図-31

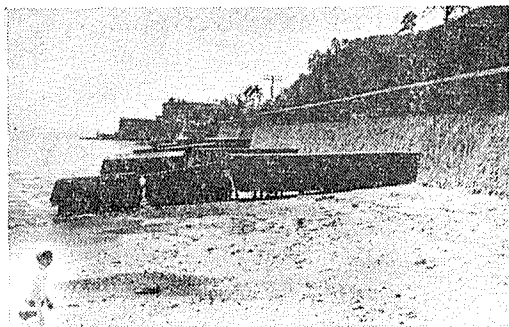


図-32

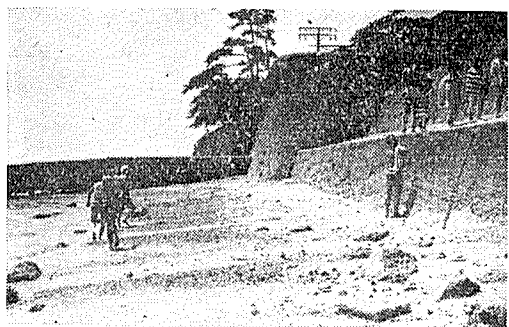


図-33

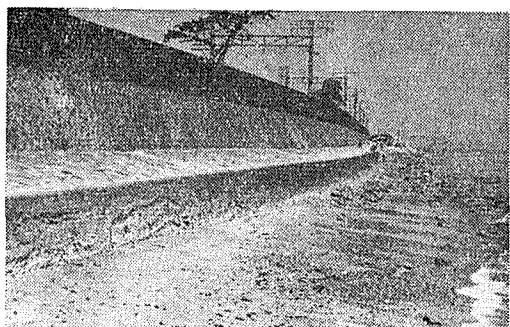


図-34

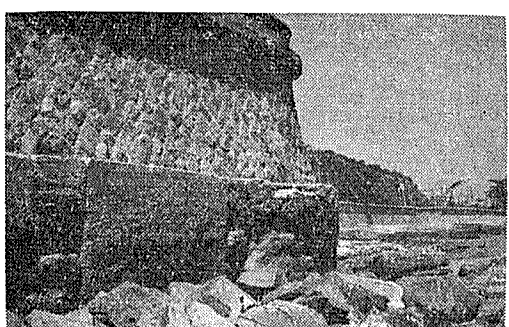


図-35

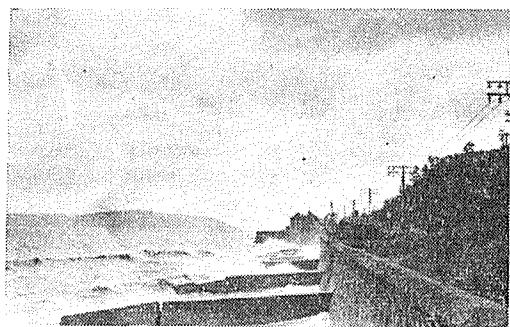


図-36



8月29日20時頃、台風16号が姫路付近を通過したときの同日夕刻における同海岸の跳波および越波の状況を示すと図-38および39のごとくである。このときの国鉄須磨駅で記録された18時から21時の風速は18~21 m/secである(このときの状況の1部は映画で示す予定である)。またこの台風の通過直後の同海岸の状況は図-40, 41および42のごとくである。図-40は図-31に示す防砂突堤が甚しく破壊された状況、図-41は図-32および33の海岸堤防の根固め前面が洗掘され、根固めの天端が破壊し始めている状況、図-42は堤防法先の洗掘と、天端からの越波によつて堤防背土砂が流出して陥没した状況を示す。

実験潮位 ジーン台風時の神戸港における最高潮位は同港における当時の検潮儀のD.L.+3.16 mである。これはT.P.+2.02 mであつて、現在の神戸港海図のD.L.+2.88 mに相当する。それ故、実験にはT.P.+2.00 mを用い、参考にT.P.+1.50 mの場合も行つた。なお神戸港の朔望平均満潮位はT.P.+0.67 m(現在

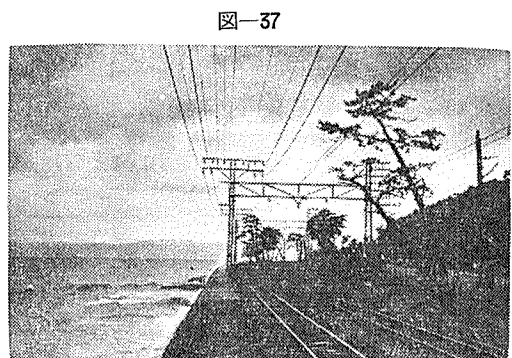


図-38 台風16号越波状況



の海図の D.L. +1.53 m)である。

**実験波浪** この海岸における台風時の波浪記録はないが、著者が数年前から冬季の西風の強いときあるいは台風時に目測した資料および大阪湾北岸における最大波浪の計算値を参考にして、

$(T_p)_{1/3} = 5.5 \sim 6.3 \text{ sec}$  ( $T_m = 1.2 \sim 1.4 \text{ sec}$ ),  $(H_p)_{1/3} = 1.5 \sim 2.0 \text{ m}$  ( $H_m = 7.5 \sim 8.0 \text{ cm}$ ) を採用した。

**実験風速** 風速  $V_p = 0, 10$  および  $30 \text{ m/sec}$  を採用した。したがつて実験では  $V_m = 0, 2.2$  および  $6.7 \text{ m/sec}$  を用いた。

**海岸堤防および海岸の断面** 実験に用いた 1/20 縮尺の海岸堤防の断面形は図-43 (a), (b) に示す 2 種類で、堤防前面の砂浜および海岸の勾配は今年 3 月の実測値にもとづいて図-44 に示すように、1:7 と 1:20 にした。

図-41

#### 現状についての実験

先ず現在のままの断面 A および B を用いて、潮位、波浪および風速を種々に変えて実験を行つた。その結果は表-15 のごとくである。実験によると、堤防前面に根固めがない A 断面において、 $T.P. +1.50 \text{ m}$  の潮位のときは、 $T_m = 1.2 \text{ sec}$  ( $T_p = 5.4 \text{ sec}$ ),  $H_m = 10 \text{ cm}$  ( $H_p = 2.0 \text{ m}$ ) の波は  $V_m \leq 2.2 \text{ m/sec}$  ( $V_p$

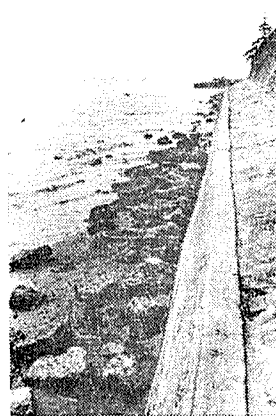


図-43 (a) 断面 A (根固めがない断面)

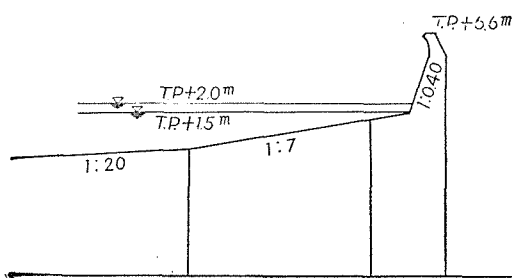


図-39 堤防前で進行波と反射波が衝突して大きな三角波を生じている状況

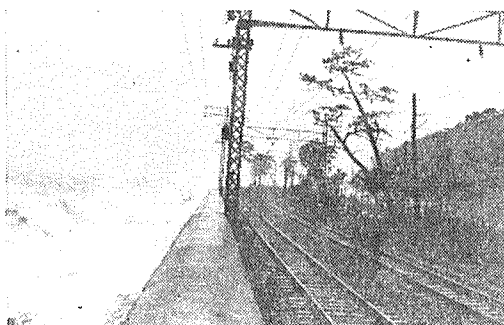


図-40

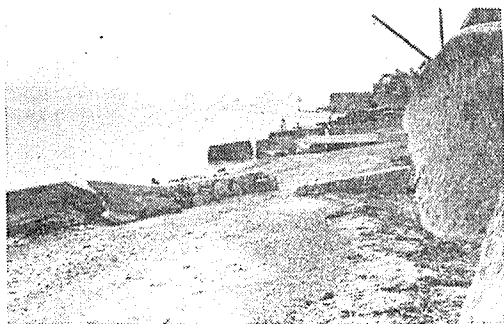
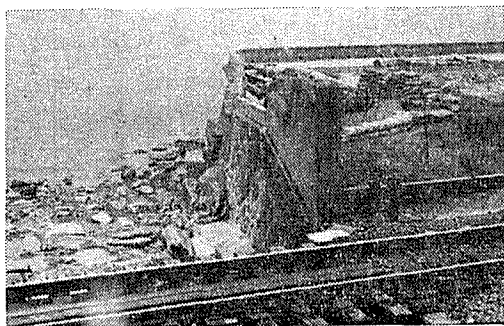
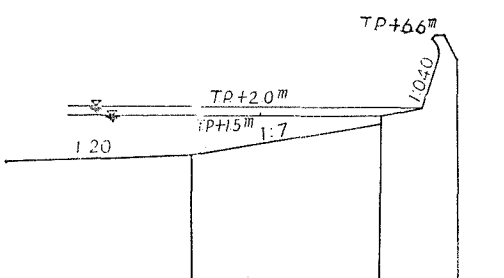


図-42



(b) 断面 B (根固めがある断面)



$\leq 10 \text{ m/sec}$ ) では越さないが(図-45, 46 参照),  $T.P.$  +2.00 m の潮位のときは,  $V_m \geq 2.2 \text{ m/sec}$  になると多量の越波を生ずる(図-47, 48, 49, 50 参照)。しかるに根固めのある断面 B(図-32, 33)においては、潮位が  $T.P. +1.50 \text{ m}$  のときは,  $H_m = 9 \text{ cm}$  ( $H_p = 1.8 \text{ m}$ ),  $T_m = 1.4 \text{ sec}$  ( $T_p = 6.3 \text{ sec}$ ) の波が来ると、根固めに強く衝突し、無風時でも多量の跳波が堤防天端以上に飛び上る(図-51 参照)。したがつて  $V_m \geq 2.2 \text{ m/sec}$  ( $V_p \geq 10 \text{ m/sec}$ ) の風が吹くと非常に多量の越波を生ずる(図-52, 53 参照)。その実験結果は表-16 に記す。

台風 16 号のときは、潮位は  $T.P. +1.0 \sim 1.2 \text{ m}$  くらいで、波は  $T_p = 5 \text{ sec}$ ,  $H_p = 1.0 \sim 1.5 \text{ m}$  (碎波高  $H_b \approx 2.0 \text{ m}$ ), 風は南風で  $V_p = 20 \text{ m/sec}$  くらいであつて、ほぼ図-53 に相似の条件にあつたが、そのときの B 断面箇所における跳波および越波の状況は図-38 および 39 に示すごとくで、両者は非常によく類似している(その詳細は実験室で撮影した高速度 16 mm 映画と現地で撮影した 8 mm 映画によつて示す予定である)。

**防波対策の実験** 台風時の観測および風洞付き水槽における実験の結果によると、潮位が  $T.P. +1.50 \sim 2.00 \text{ m}$  で南風が  $10 \text{ m/sec}$  以上のときは、たとえ現在の堤防天端を  $1.0 \sim 1.5 \text{ m}$  高くしても、多量の越波を防ぐことが出来ないことは明らかである。それ故、堤防前面で波のエネルギーを殺す必要があるが、その方法として次の 2 つが考えられる。

図-47



図-49

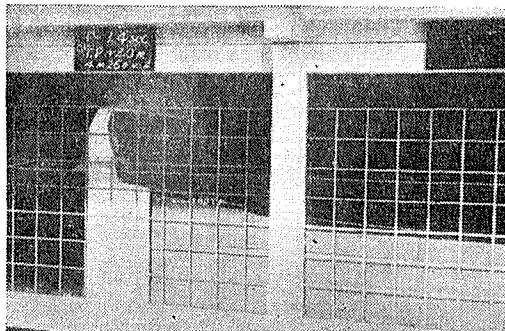


図-44

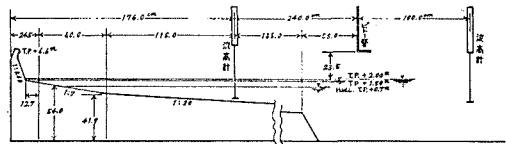


図-45



図-46

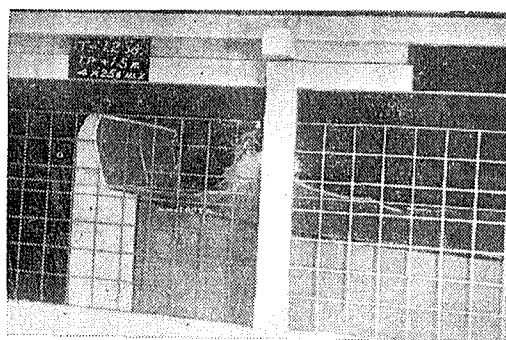


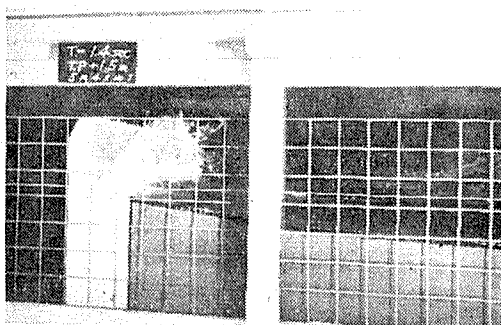
図-48



図-50



図-51



(a) 消波堤を築造する方法 堤防前面に中空三角錐ブロックまたはテトラポッドを2層積した消波堤を堤防に平行に設置して、これに波を吸収させて、堤防表法に達する波のエネルギーおよび水量を減少させる方法。この方法は成功すれば工費は安い。

(b) 人工的に砂浜を作る方法 堤防から相当離れた沖に平行堤を築造し、これと堤防との区間に人工的に砂を堆積して砂浜を造成し、この区間で波のエネルギーを減少させる方法。この方法を実施するには、平行堤の位置、高さ、人工砂浜の高さなどと消波効果との関係、砂の移動状況などを十分に研究する必要がある。この方法は(a)の方法に比して砂浜の造成に要する工費が高くつく。

まず(a)の方法について実験を行ったところ、著しい消波効果があることが明らかになつたので、本文では(a)の方法について報告し、(b)の方法については次回に報告する予定である。

**A断面の堤防** 堤防表法先に図-54に示すような消波堤を2tの中空三角錐ブロックおよびテトラポッドを2層

図-54 断面A-1(中空ブロック)  
断面A-2(テトラポッド)

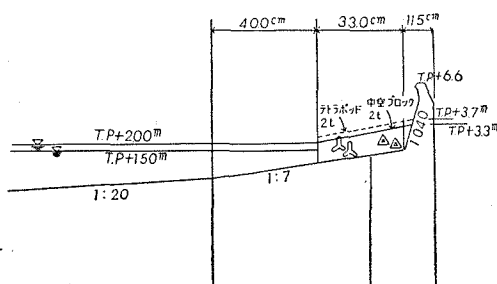


図-55



図-52

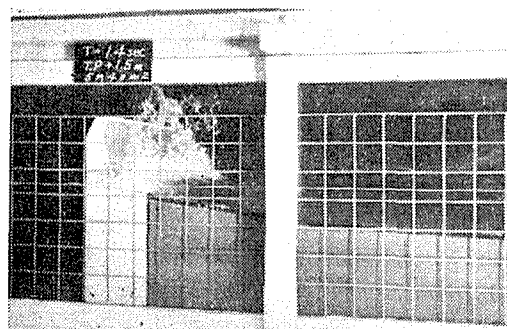


図-53



積して造り、その天端高を  $T.P.+1.50\text{ m} \sim 3.70\text{ m}$  にした。A断面においては、後退波のエネルギーが強いので、 $T_m=1.25\text{ sec}$  ( $T_p=5.6\text{ sec}$ ) の波のときは  $x_a=x_b=50\sim65\text{ cm}$  の点で、 $T_m=1.43\text{ sec}$  ( $T_p=6.3\text{ sec}$ ) の波のときは  $x_a=x_b=65\sim70\text{ cm}$  の点で、進行波と強へ衝突し、同時に碎波する。それ故、この断面では後退波のエネルギーを減少することが大切であるから、堤防法先に消波堤を設置した。潮位が  $T.P.+2.0\text{ m}$  の場合の実験結果は表-15に示すとおりである。中空三角錐ブロック堤およびテトラポッド堤の両者とも非常に消波効果が顕著であつて、堤防からの後退波は著しく弱くな

図-56



り、したがつて進行波との衝突も非常に弱くなり、 $x_b=20\sim30\text{ cm}$  の点、すなわちブロック堤上で弱く碎波するようになる。図-55 および 56 はこの場合の法面における波のはい上り状況を示す。ブロック堤がない場合の図-47 および 48 と比較すると、消波効果がいかに大きいかをよく理解することが出来る。

**B断面の堤防** 堤防法先に根固め（海側端の天端高 T.P. + 1.5 m）がある断面では、潮位が T.P. + 1.00～1.50 m くらいのとき、堤防から 5～6 m 付近の点で碎波るので、碎波が根固めに激しく衝突し、跳波が高く飛び上る。この現象は実験（図-53）においても現地（図-38）においても同じであつて、この根固めが越波を促進している。したがつてこの断面においては、進行波が根固めに激突するのを防ぐことが重要であるから、ブロック堤を図-57 のように碎波点付近に設置した。ブロック堤は 2 t 中空三角錐ブロックを 2 層積したが、表-16 に示すように、ブロック堤の消波効果は極めて顕著で、潮位が T.P. + 1.50 m で、 $T_m=1.4\text{ sec}$  ( $T_p=6.3\text{ sec}$ )、 $H_m=9\text{ cm}$  ( $H_p=1.80\text{ m}$ ) の波のときでも、越波は全くなくなる。図-58 および 59 は波がブロック堤上で碎波するときおよび法面におけるはい上りの状況を示す。図-38 と比較して消波効果の大きさがよくわかる。

図-58

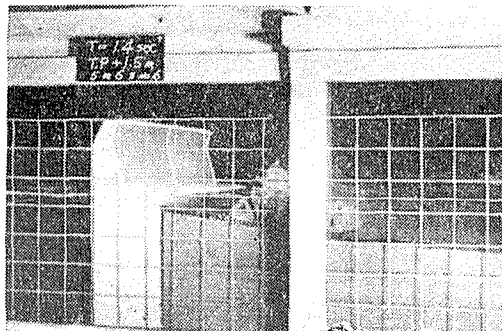


図-57

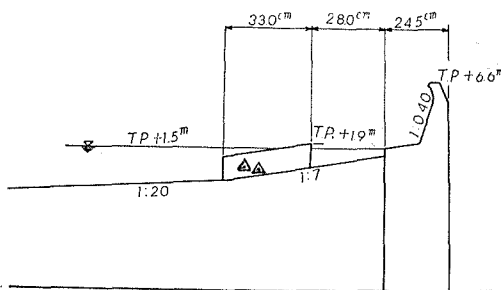


図-59



#### 4. 結 論

(1) 海岸堤防の表法面における波の相対的はい上り高さ  $R_u/H$  の値は、無風および強風の場合とも、法勾配が 1:1 のときに最も大きく、1:0.6～1:0.4 のときは最も小さい。したがつて 1:0.6～1:0.4 の勾配は、直立型の海岸堤防の表法勾配として、波のはい上りおよび背面よりの土圧を考慮した場合に最も適した勾配ということができる。風速が  $V_p>10\text{ m/sec}$  になると、風圧によって波頭が早く崩れるため、法面における波のはい上りはやや減少する。

(2) 風速  $V_p>10\text{ m/sec}$  の場合には、後退波と進行波とが衝突したときに生ずる跳波が風圧で押されて堤内地に飛びこむから注意を要する。

(3)  $R_u/H$  の値は無風および強風のときともに、波形勾配  $H/L$  が小さい波ほど大きい。これは  $H/L$  の小さい波は堤防に近い点で碎波するので、堤防に達したときの波のエネルギーが大きいからである。

(4) 堤防からの反射率は大体の傾向として表法勾配が 1:3 ( $\theta=20^\circ$ ) になると急に小さくなり、1:2 ( $\theta=30^\circ$ ) 以上の急勾配では反射率はあまり変化しない。また堤防前面の水深が大きくなると反射率は大きくなる。風速は反射率にはあまり影響を与えないようである。

(5) 堤防天端付近の曲線形波返しは、風速  $V_p\leq 10\text{ m/sec}$  のときは有効に作用するが、 $V_p>10\text{ m/sec}$  の強風のときはほとんど効果がないことが理論的にも実験的にも明らかになつた。それ故今後の海岸堤防の計画には曲線波返しは設けず、鉛直型の胸壁にする方が経済的に有利である。

(6) 伊勢湾台風以来、伊勢湾、大阪湾沿岸などにおいては、伊勢湾台風あるいは室戸台風の時の潮位および波浪を設計の対称にするようになつたので、海岸堤防の天端は急に高くすることが必要になり、堤防築造の費用が著しく増大してきた。しかし天端を相当高くしても、台風時の越波を防ぐことは極めて困難である。それ故、堤防の

前面で波のエネルギーを減殺して、法面における波のはい上りを減少するように工夫するのが得策であると考えられる。この目的には堤防前面の適当な場所に、適当な高さの消波堤を設置することが非常に効果的である。この消波堤には例えば中空三角錐コンクリートブロックまたはテトラポッドのような消波能力が大きく、波力に対して安定な形のコンクリート・ブロックを2層積することが望ましい。従来用いられて来たような直方体のコンクリート・ブロックを使用すると、消波能力がほとんどないから、碎波がこれに激しく衝突して大きな跳波を生じ、それが風圧で堤防へ押付けられるから、返つて悪い結果を生ずるので、特に注意を要する。

#### 参考文献

- 1) 佐藤清一、岸 力：「海岸堤防の形状特性ならびに陸岸への週上」，第3回海岸工学講演会講演集，昭和31年11月。
- 2) 石原、岩垣、鈴木：「海岸堤防の設計、特にその有効高について」，第2回海岸工学講演会講演集，昭和30年11月。
- 3) 加藤重一：「海岸(干拓)堤防の断面形状と波浪エネルギーの減殺効果について」，第5回海岸工学講演会講演集，昭和33年11月。
- 4) T. Saville：“Wave Run-up on Shore Structures,” Proc. of ASCE, WW 2, April, 1956.
- 5) L. Greslou et Y. Mahe：“Etude du coefficient de reflexion d'une houle sur un obstacle constitue par un plan incline,” Proc. of the 5th Conf. on Coastal Engineering, Sept. 1954, pp. 68~84.

直鉛 - 1 (a)

No.	$h_i$ (cm)	T (sec)	$V_{\text{in}}$ (m/sec)	L (cm)	$L_o$ (cm)	H (cm)	$H_o$ (cm)	$h_i/L_o$	$x_c^b$ (cm)	R <sub>u</sub> (cm)	R <sub>u</sub> /H	R <sub>u</sub> /H <sub>0</sub>	$\tau$ (%)	碎波状況	越波状況			
0-A-1	0.0	1.21	0.0	1.62	1.96	228	12.1	13.5	0.062	0.057	0.0	43	79	8.0	0.66	0.62	17.90cmより碎波かけられ、完全碎波も あり瀬戸や早い、少くずれ波で落 しすぎなし ゆるくはい上がる	
" -2	"	1.21	2.3	1.58	1.91	228	10.4	11.2	0.055	0.049	"	45	73	7.8	0.75	0.70	" "	
" -3	"	1.23	4.5	1.62	1.99	236	11.3	12.2	0.057	0.052	"	43	75	6.8	0.60	0.56	12.100cmより碎波かけられ、完全碎波	
" -4	"	1.23	6.7	1.62	1.99	236	11.4	12.3	0.057	0.052	"	41	80	6.7	0.59	0.54	20.140cmより碎波かけられ、完全碎波	
0-B-1	0.0	1.40	0.0	1.70	238	306	12.8	13.4	15.0	0.052	0.044	0.0	52	83	10.0	0.81	0.75	17.115cmより碎波かけられ、完全碎波
" -2	"	1.39	2.2	1.73	241	301	12.1	13.2	13.5	0.050	0.044	"	55	80	9.7	0.80	0.74	10.108cmより碎波かけられ、完全碎波
" -3	"	1.39	4.5	1.70	236	301	12.1	13.2	14.0	0.051	0.044	"	54	82	8.7	0.72	0.66	8.160cmより碎波かけられ崩れ波に近く、完全碎波
" -4	"	1.43	6.7	1.68	241	318	12.3	13.5	14.5	0.051	0.043	"	53	82	7.2	0.59	0.53	12.160cmより碎波かけられ崩れ波に近く、完全碎波
0-C-1	0.0	1.91	0.0	1.94	371	570	8.6	9.2	12.0	0.023	0.016	0.0	89	69	11.2	1.30	1.22	20.160cmより碎波点より衝突点が沖側
" -2	"	1.91	2.2	2.00	382	570	9.3	9.9	12.0	0.024	0.017	"	82	74	10.3	1.11	1.04	10.160cmより碎波かけられ崩れ波、完全崩波
" -3	"	1.92	4.5	1.92	370	574	9.0	9.6	12.5	0.024	0.016	"	85	71	11.0	1.22	1.15	13.105cmより碎波かけられ崩れ波
" -4	"	1.92	6.7	1.89	364	574	9.7	10.3	11.0	0.027	0.018	"	75	74	8.7	0.90	0.84	20.150cmより碎波かけられ崩れ波で完全崩波

直義 - 1 (b) 鉛

No.	$h_1$ (cm)	T (sec)	$V_{\text{max}}$ (m/sec)	$\omega$ (rad/sec)	L (cm)	$H_0$ (cm)	$H_b$ (cm)	$H/L$	$H_0/L_0$	$b_1/L_0$	$x_b^*$ (cm)	$R_u$ (cm)	$R_u/H$	$R_u/H_0$	$\tau$ (%)	碎波状況	越波状況		
5-A-1	5.0	1.19	0.0	1.66	198	220	13.2	14.2	14.0	0.067	0.065/0.0227	57	36	14.0	1.06	0.98	23	波峰付近(やや高くあたる)碎波	
" -2	/	1.19	2.2	1.64	195	220	11.9	12.8	13.0	0.061	0.058/0.0227	61	38	14.3	1.20	1.12	26	波峰付近(やや高くあたる)碎波	
" -3	/	1.19	4.5	1.66	198	220	11.1	11.9	11.0	0.056	0.054/0.0227	54	37	13.0	1.17	1.08	32	波峰碎波	
" -4	/	1.22	6.7	1.64	200	231	12.8	13.8	17.0	0.064	0.060/0.0217	59	39	11.0	0.86	0.80	30	150cmより碎波かけかけ少しある	
5-B-1	5.0	1.40	0.0	1.77	248	306	10.6	11.6	12.0	0.043	0.038/0.0163	67	6	14.3	1.35	1.23	36	150cmより碎波かけかけ少しある	
" -2	/	1.40	2.2	1.79	251	306	11.1	12.1	13.5	0.044	0.040/0.0163	71	9	14.0	1.26	1.16	33	150cmより碎波かけかけ少しある	
" -3	/	1.40	4.5	1.77	248	306	10.3	11.3	13.0	0.042	0.037/0.0163	69	10	14.7	1.43	1.30	23	130cmより碎波かけかけ少しある	
" -4	/	1.40	6.7	1.75	245	306	10.5	11.5	13.0	0.043	0.038/0.0163	69	20	12.7	1.21	1.10	25	130cmより碎波かけかけ少しある	
5-C-1	5.0	1.91	0.0	1.89	361	568	10.3	11.0	7.5	0.029	0.019/0.0088	98	514.7	50	1.43	4.85	4.55	31	波峰部で部分的碎波
" -2	/	1.88	2.2	1.94	365	551	9.8	10.5	-	0.027	0.019/0.0091	95	514.3	43	1.46	4.39	4.09	35	波峰碎波
" -3	/	1.88	4.5	1.89	366	551	9.8	10.5	-	0.028	0.019/0.0091	95	5	-	38	-	3.88	-	
" -4	/	1.88	6.7	1.87	332	551	10.7	11.5	13.5	0.030	0.021/0.0091	97	19	-	38	-	3.56	-	
																37	110cmより碎波かけかけ少しある		

表—1(c) 鈴 直

No.	$h_1$ (cm)	T (sec)	$V_m$ (m/sec)	$\omega$ (rad/sec)	L (cm)	$L_0$ (cm)	H (cm)	$H_0$ (cm)	$H/L$	$H_0/L_0$	$x_b$ (cm)	$S_p$ (cm)	$S_p/H_0$	$r$ (%)	波 状 況	越 波 状 況	
10-A-1	10.0	1.22	0.0	1.70	208	2.32	15.9	17.1	—	0.076	0.0710.0431	65	—	75	4.72	4.39	33
" -2	"	1.22	2.2	1.75	214	2.32	14.8	16.0	19.0	0.069	0.0630.0431	63	0	85	5.75	5.31	38
" -3	"	1.20	4.5	1.79	215	2.25	14.2	15.3	20.0	0.066	0.0630.0444	66	0	75	5.28	4.90	33
" -4	"	1.22	6.7	1.75	214	2.32	14.7	15.9	19.5	0.069	0.0630.0431	61	0	75	5.10	4.72	33
10-B-1	10.0	1.43	0.0	1.82	260	3.18	19.2	21.0	26.0	0.074	0.0660.0315	85	0	75	3.91	3.57	32
" -2	"	1.40	2.2	1.82	255	3.06	18.1	19.8	22.0	0.071	0.0650.0327	80	0	75	4.15	3.89	27
" -3	"	1.40	4.5	1.79	251	3.06	17.3	18.9	23.0	0.069	0.0620.0327	80	0	68	3.94	3.60	20
" -4	"	1.39	6.7	1.79	249	3.01	18.2	19.9	22.0	0.073	0.0660.0333	75	0	60	3.30	3.20	20
10-C-1	10.0	1.93	0.0	2.13	411	5.80	11.1	11.8	—	0.027	0.0240.0172	120	—	90	8.10	7.63	24
" -2	"	1.88	2.2	2.17	408	5.51	8.9	9.5	—	0.022	0.0170.0182	110	—	80	8.98	8.42	19
" -3	"	1.90	4.5	2.20	418	5.61	8.4	9.0	20.0	0.020	0.0160.0178	110	—	73	8.70	8.11	20
" -4	"	1.90	6.7	1.92	365	5.61	9.6	10.3	19.5	0.026	0.0180.0178	105	0	73	7.60	7.08	13

表—2(a) 勾 配 1:0.6

No.	$h_1$ (cm)	T (sec)	$V_m$ (m/sec)	$\omega$ (rad/sec)	L (cm)	$L_0$ (cm)	H (cm)	$H_0$ (cm)	$H/L$	$H_0/L_0$	$x_b$ (cm)	$R_v$ (cm)	$R_u/H_0$	$r$ (%)	碎 波 状 況	越 波 状 況	
0-A-1	0.0	1.21	0.0	1.63	201	11.8	12.7	—	0.059	0.056	0.0	45	90	7.4	0.63	0.58	18
" -2	"	1.22	2.2	1.57	191	—	12.1	—	—	0.063	—	42	90	8.3	0.69	—	19
" -3	"	1.22	4.5	1.56	190	—	12.0	—	—	0.063	—	42	92	7.4	0.62	—	11
" -4	"	1.21	6.7	1.60	193	—	12.5	—	—	0.065	—	38	110	6.4	0.51	—	13
0-B-1	0.0	1.41	0.0	1.68	237	11.5	12.6	—	0.049	0.041	0.0	50	90	8.8	0.77	0.70	32
" -2	"	1.42	2.2	1.67	237	—	12.0	—	—	0.051	—	50	84	8.3	0.69	—	28
" -3	"	1.45	4.5	1.85	268	—	13.7	—	—	0.051	—	55	83	9.7	0.71	—	33
" -4	"	1.44	6.7	1.73	249	—	13.4	—	—	0.054	—	45	90	8.0	0.60	—	29
0-C-1	0.0	1.92	0.0	1.92	369	7.5	8.0	—	0.020	0.014	0.0	80	63	8.3	1.11	1.04	25
" -2	"	1.92	2.2	1.92	369	—	7.8	—	—	0.021	—	75	65	9.2	1.18	—	39
" -3	"	1.93	4.5	1.90	367	—	8.6	—	—	0.023	—	78	70	9.4	1.09	—	25
" -4	"	1.96	6.7	1.83	359	—	8.8	—	—	0.026	—	70	70	8.6	0.98	—	21

表 1(c) 勾 配 1:0.6

No.	$h_0$ (cm)	T (sec)	$V_m$ (m/sec)	$\omega$ (sec)	L (cm)	$L_0$ (cm)	H (cm)	$H_b$ (cm)	H/L	$H_0/L_0$	$h_0/L_0$	$x_b$ (cm)	$R_u$ (cm)	$R_u/H$	$R_u/H_0$ (%)	傾 度	波 状 況	越 波 状 況
10-A-1	10.0	1.18	0.0	1.70	201	2.17	13.4	14.4	20.0	0.067	0.066	0.061	57	26	31.2	2.17	39	部分的斜坡 少し重複的になる反射率 大きく減少する。衝突点より少しきが少しよみにぶつかる
" -2	" 1.22	2.2	1.70	208	-	14.6	-	19.0	0.070	-	-	49	21	30.8	2.11	-	"	
" -3	" 1.22	4.5	1.73	212	-	14.6	-	20.0	0.069	-	-	47	18	45.5	3.12	-	"	
" -4	" 1.23	6.7	1.70	209	-	10.0	-	19.0	0.048	-	-	52	13	32.1	3.21	-	"	
10-B-1	10.0	1.40	0.0	1.82	254	3.06	15.5	16.9	18.5	0.061	0.055	0.0327	75	0	45.5	2.93	30	部分的斜坡、非常に強く壁にぶつかる、三脚設立つ
" -2	" 1.37	2.2	1.77	242	-	12.8	-	18.0	0.053	-	-	75	0	52.7	4.12	-	"	
" -3	" 1.41	4.5	1.80	252	-	14.5	-	17.0	0.058	-	-	73	0	45.1	3.11	-	"	
" -4	" 1.42	6.7	1.81	257	-	10.9	-	17.0	0.042	-	-	75	0	42.1	3.86	-	"	
10-C-1	10.0	1.88	0.0	2.10	395	5.50	6.1	6.5	13.5	0.015	0.012	0.0182	111	0	( $S_p/H$ ) ( $S_p/H_0$ ) (%)	16.57 15.55	50	部分的斜坡、壁に強くぶつかる。回を重ねる部分の斜坡に近く強くぶつかる。
" -2	" 1.88	2.2	2.20	414	-	8.1	-	12.0	0.020	-	-	109	0	92.5	11.41	-	"	
" -3	" 1.88	4.5	2.10	395	-	8.7	-	13.0	0.022	-	-	99	0	87.0	10.00	-	"	
" -4	" 1.91	6.7	2.13	400	-	9.0	-	14.0	0.023	-	-	100	0	90.0	10.00	-	"	

表 3(a) 勾 配 1:1

No.	$h_0$ (cm)	T (sec)	$V_m$ (m/sec)	$\omega$ (sec)	L (cm)	$L_0$ (cm)	H (cm)	$H_b$ (cm)	H/L	$H_0/L_0$	$h_0/L_0$	$x_b$ (cm)	$R_u$ (cm)	$R_u/H$	$R_u/H_0$ (%)	傾 度	波 状 況	越 波 状 況
0-A-1	0.0	1.21	0.0	1.61	135	228	11.0	11.8	-	0.056	0.052	0.0	40	95	9.2	0.92	0.78	きれいな完全波浪
" -2	" 1.21	2.2	1.62	196	-	11.0	-	-	0.056	-	-	41	90	9.7	0.88	-	"	
" -3	" 1.21	4.5	1.65	200	-	10.3	-	-	0.051	-	-	42	90	9.2	0.89	-	"	
" -4	" 1.20	6.7	1.65	192	-	11.3	-	-	0.059	-	-	39	90	8.0	0.71	-	"	
0-B-1	0.0	1.40	0.0	1.69	237	306	11.4	12.5	-	0.048	0.041	0.0	49	87	10.8	-0.95	0.87	きれいな完全波浪
" -2	" 1.38	2.2	1.73	239	-	11.8	-	-	0.049	-	-	48	80	10.4	0.88	-	"	
" -3	" 1.39	4.5	1.75	236	-	11.1	-	-	0.047	-	-	52	87	9.9	0.89	-	"	
" -4	" 1.40	6.7	1.75	241	-	10.8	-	-	0.045	-	-	50	85	9.4	1.87	-	"	
0-C-1	0.0	1.90	0.0	1.94	369	561	8.1	8.7	-	0.022	0.016	0.0	79	69	12.1	1.49	1.39	きれいな完全波浪
" -2	" 1.90	2.2	1.94	369	-	8.7	-	-	0.024	-	-	77	68	10.4	1.19	-	"	
" -3	" 1.91	4.5	1.95	372	-	9.0	-	-	0.024	-	-	78	70	9.4	1.04	-	"	
" -4	" 1.89	6.7	1.93	365	-	9.1	-	-	0.025	-	-	78	72	10.1	1.11	-	"	

表—3(b) 勾配 1:1

No.	$h_t$ (cm)	T (sec)	$V_m$ (m/sec)	$\omega$ (m/sec)	L (cm)	$L_0$ (cm)	H (cm)	$H_0$ (cm)	$H/L$	$H_0/L_0$	$h_t/L_0$	$x_e$ (cm)	$R_u$ (cm)	$R_u/H$	$R_u/h_t$	$\Gamma$ (%)
5-A-1	5.0	1.20	0.0	1.67	200	2.24	11.5	12.3	19.0	0.058	0.0530	0.0223	48	12.0	1.04	0.85
" -2	"	1.20	2.2	1.66	199	-	11.1	-	17.5	0.056	-	-	49	43	11.3	1.02
" -3	"	1.21	4.5	1.65	200	-	10.9	-	18.0	0.055	-	-	48	42	11.0	1.01
" -4	"	1.20	6.7	1.59	191	-	10.5	-	-	0.055	-	-	48	42	10.5	1.00
5-B-1	5.0	1.37	0.0	1.77	243	2.22	10.2	11.2	15.5	0.042	0.0380	0.0171	75	15.8	1.35	1.28
" -2	"	1.41	2.2	1.74	245	-	9.6	-	13.0	0.039	-	-	68	56	15.0	1.56
" -3	"	1.41	4.5	1.77	250	-	10.1	-	19.0	0.040	-	-	69	58	12.7	1.26
" -4	"	1.40	6.7	1.78	250	-	10.0	-	-	0.040	-	-	68	56	11.0	1.10
5-C-1	5.0	1.91	0.0	1.95	374	5.67	9.8	10.4	-	0.026	0.0180	0.0088	90	32.3	3.29	3.10
" -2	"	1.91	2.2	1.85	353	-	9.2	-	-	0.026	-	-	90	0	25.9	2.82
" -3	"	1.90	4.5	1.85	351	-	9.5	-	-	0.027	-	-	85	10	26.8	2.83
" -4	"	1.89	6.7	2.08	391	-	7.7	-	-	0.020	-	-	85	21	21.6	2.81

表—3(c) 勾配 1:1

No.	$h_t$ (cm)	T (sec)	$V_m$ (m/sec)	$\omega$ (m/sec)	L (cm)	$L_0$ (cm)	H (cm)	$H_0$ (cm)	$H/L$	$H_0/L_0$	$h_t/L_0$	$x_e$ (cm)	$R_u$ (cm)	$R_u/H$	$R_u/h_t$	$\Gamma$ (%)
10-A-1	10.0	1.20	0.0	1.73	208	2.24	14.3	15.3	27.0	0.069	0.0680	0.0446	47	20	27.0	1.89
" -2	"	1.22	2.2	1.76	215	-	13.0	-	22.0	0.061	-	-	45	20	29.8	2.29
" -3	"	1.23	4.5	1.77	218	-	11.8	-	15.0	0.054	-	-	42	20	30.1	2.53
" -4	"	1.23	6.7	1.77	217	-	10.5	-	-	0.048	-	-	46	26	24.9	2.37
10-B-1	10.0	1.39	0.0	1.86	258	3.01	11.3	12.4	15.0	0.044	0.0410	0.0332	55	13	32.7	1.77
" -2	"	1.37	2.2	1.86	255	-	10.0	-	-	0.039	-	-	51	18	28.4	2.84
" -3	"	1.37	4.5	1.85	254	-	9.5	-	16.0	0.037	-	-	50	18	27.2	2.86
" -4	"	1.39	6.7	1.89	253	-	8.7	-	20.0	0.034	-	-	54	-	29.6	3.40
10-C-1	10.0	1.90	0.0	1.98	376	5.61	9.8	10.5	-	0.036	0.0190	0.0178	103	-	$(S_p/H)$ 9.51	48
" -2	"	1.90	2.2	1.92	365	-	9.1	-	-	0.025	-	-	98	-	136	15.00
" -3	"	1.89	4.5	1.90	359	-	9.4	-	10.0	0.026	-	-	98	0	141	15.00
" -4	"	1.88	6.7	1.89	355	-	10.6	-	-	0.030	-	-	90	0	159	15.00

5-A-1よりごくわずかにしぶきが壁まで  
前面50cm点で少しひねられたときに壁  
前面100cmで“”  
前面110cmで“”  
前面120cmで“”

5-B-1より壁から出たる多くしぶきが壁まで  
前面50cm点で少しひねられたときに壁  
前面100cmで“”  
前面110cmで“”  
前面120cmで“”

5-C-1より壁から出たる多くしぶきが壁まで  
前面50cm点で少しひねられたときに壁  
前面100cmで“”  
前面110cmで“”  
前面120cmで“”

5-A-1より壁から出たる多くしぶきが壁まで  
前面50cm点で少しひねられたときに壁  
前面100cmで“”  
前面110cmで“”  
前面120cmで“”

5-B-1より壁から出たる多くしぶきが壁まで  
前面50cm点で少しひねられたときに壁  
前面100cmで“”  
前面110cmで“”  
前面120cmで“”

5-C-1より壁から出たる多くしぶきが壁まで  
前面50cm点で少しひねられたときに壁  
前面100cmで“”  
前面110cmで“”  
前面120cmで“”

10-A-1より壁から出たる多くしぶきが壁まで  
前面50cm点で少しひねられたときに壁  
前面100cmで“”  
前面110cmで“”  
前面120cmで“”

10-B-1より壁から出たる多くしぶきが壁まで  
前面50cm点で少しひねられたときに壁  
前面100cmで“”  
前面110cmで“”  
前面120cmで“”

10-C-1より壁から出たる多くしぶきが壁まで  
前面50cm点で少しひねられたときに壁  
前面100cmで“”  
前面110cmで“”  
前面120cmで“”

10-A-1より壁から出たる多くしぶきが壁まで  
前面50cm点で少しひねられたときに壁  
前面100cmで“”  
前面110cmで“”  
前面120cmで“”

10-B-1より壁から出たる多くしぶきが壁まで  
前面50cm点で少しひねられたときに壁  
前面100cmで“”  
前面110cmで“”  
前面120cmで“”

10-C-1より壁から出たる多くしぶきが壁まで  
前面50cm点で少しひねられたときに壁  
前面100cmで“”  
前面110cmで“”  
前面120cmで“”

10-A-1より壁から出たる多くしぶきが壁まで  
前面50cm点で少しひねられたときに壁  
前面100cmで“”  
前面110cmで“”  
前面120cmで“”

10-B-1より壁から出たる多くしぶきが壁まで  
前面50cm点で少しひねられたときに壁  
前面100cmで“”  
前面110cmで“”  
前面120cmで“”

10-C-1より壁から出たる多くしぶきが壁まで  
前面50cm点で少しひねられたときに壁  
前面100cmで“”  
前面110cmで“”  
前面120cmで“”

10-A-1より壁から出たる多くしぶきが壁まで  
前面50cm点で少しひねられたときに壁  
前面100cmで“”  
前面110cmで“”  
前面120cmで“”

10-B-1より壁から出たる多くしぶきが壁まで  
前面50cm点で少しひねられたときに壁  
前面100cmで“”  
前面110cmで“”  
前面120cmで“”

10-C-1より壁から出たる多くしぶきが壁まで  
前面50cm点で少しひねられたときに壁  
前面100cmで“”  
前面110cmで“”  
前面120cmで“”

10-A-1より壁から出たる多くしぶきが壁まで  
前面50cm点で少しひねられたときに壁  
前面100cmで“”  
前面110cmで“”  
前面120cmで“”

10-B-1より壁から出たる多くしぶきが壁まで  
前面50cm点で少しひねられたときに壁  
前面100cmで“”  
前面110cmで“”  
前面120cmで“”

10-C-1より壁から出たる多くしぶきが壁まで  
前面50cm点で少しひねられたときに壁  
前面100cmで“”  
前面110cmで“”  
前面120cmで“”

表-4 (a) 勾 配 1:2

No.	$h_i$ (cm)	T (sec)	$V_m^*$ (m/sec)	$\omega$ (rad/sec)	$L_i$ (cm)	$H_i$ (cm)	$H_b$ (cm)	$H_o/L_o$	$h_i/L_o$	$x_e$ (cm)	$x_b$ (cm)	$R_u/H$	$R_u/H_o$ (%)	$R_u/H$ (%)	越 波 状 況			
0-A-1	0.0	1.22	0.0	1.62	198	233	12.4	13.4	-	0.063	0.057	0.0	30	78	8.2	0.69	0.64	32 全體
" -2	"	1.20	2.2	1.62	194	-	11.6	-	-	0.060	-	-	32	73	8.0	0.71	-	19 全體
" -3	"	1.22	4.5	1.62	198	-	10.9	-	-	0.055	-	-	29	73	7.6	0.73	-	10 全體
" -4	"	1.21	6.7	1.60	194	-	10.7	-	-	0.055	-	-	29	79	7.2	0.69	-	11 全體
0-B-1	0.0	1.41	0.0	1.73	244	310	12.9	14.1	-	0.053	0.046	0.0	41	55	9.3	0.76	0.70	8 やゝ急な逸流、完全碎波
" -2	"	1.40	2.2	1.73	242	-	13.2	-	-	0.055	-	-	40	89	8.9	0.70	-	14 逸流、完全碎波
" -3	"	1.40	4.5	1.71	240	-	13.1	-	-	0.055	-	-	40	87	8.9	0.70	-	12 "
" -4	"	1.40	6.7	1.71	240	-	12.2	-	-	0.051	-	-	40	87	8.1	0.71	-	14 逸流に近い崩れ波 120cmより碎けかける。
0-C-1	0.0	1.92	0.0	1.94	373	585	8.9	9.5	-	0.024	0.016	0.0	71	66	10.2	1.21	1.14	11 全體
" -2	"	1.92	2.2	1.93	370	-	8.5	-	-	0.023	-	-	67	69	10.0	1.26	-	13 全體
" -3	"	1.91	4.5	1.97	377	-	8.8	-	-	0.023	-	-	66	73	10.0	1.23	-	19 全體
" -4	"	1.94	6.7	1.95	373	-	9.5	-	-	0.025	-	-	63	69	9.6	1.12	-	14 前面 150cmより碎けかけて前面波で完全碎波

表-4 (b) 勾 配 1:2

No.	$h_i$ (cm)	T (sec)	$V_m^*$ (m/sec)	$\omega$ (rad/sec)	$L_i$ (cm)	$H_i$ (cm)	$H_b$ (cm)	$H_o/L_o$	$h_i/L_o$	$x_e$ (cm)	$x_b$ (cm)	$R_u/H$	$R_u/H_o$ (%)	$R_u/H$ (%)	越 波 状 況			
5-A-1	5.0	1.20	0.0	1.67	200	2.24	12.5	14.1	18.0	0.063	0.060	0.0223	32	38	15.9	1.27	1.19	30 非常に危険な全波で部分的碎波し平面に厚く壁面点よりわずかではあるが出畠の水塊の
" -2	"	1.22	2.2	1.66	203	-	13.9	-	16.5	0.068	-	-	33	37	15.6	1.12	-	22 部分的碎波、厚くはい上る
" -3	"	1.20	4.5	1.73	208	-	12.9	-	17.5	0.062	-	-	34	33	14.2	1.10	-	25 少く碎けかけ少し崩れかへつた
" -4	"	1.23	6.7	1.69	208	-	12.9	-	17.0	0.062	-	-	31	35	13.2	1.02	-	22 壁面点より多くしぶきが崩れかへつた
5-B-1	5.0	1.40	0.0	1.78	249	3.06	10.2	11.5	17.5	0.041	0.037	0.0163	48	40	15.7	1.54	1.40	22 急な全波で部分的碎波
" -2	"	1.43	2.2	1.78	255	-	9.3	-	19.0	0.037	-	-	47	33	14.5	1.56	-	13 急な全波で碎波
" -3	"	1.41	4.5	1.77	250	-	9.7	-	18.0	0.039	-	-	48	32	13.9	1.43	-	14 完全碎波
" -4	"	1.42	6.7	1.74	247	-	11.7	-	17.0	0.047	-	-	47	33	14.2	1.21	-	15 崩れ波で碎波
5-C-1	5.0	1.91	0.0	1.86	355	5.68	10.5	11.7	-	0.030	0.020	0.0058	68	-	25.9	2.42	2.31	31 上岸にほぼ上る、碎けず、ゆるく
" -2	"	1.90	2.2	1.86	359	-	11.2	-	6.0	0.031	-	-	64	7	25.6	2.28	-	28 上岸するが比較的多くしぶきが超す
" -3	"	1.89	4.5	1.93	365	-	11.1	-	5.5	0.030	-	-	67	11	23.3	2.10	-	26 上岸するが比較的多くしぶきが超す
" -4	"	1.90	6.7	1.95	373	-	12.0	-	6.5	0.032	-	-	66	9	20.3	1.69	-	26 上岸するが比較的多くしぶきが超す

表—4(c) 勾配 1:2

No.	$h_0$ (cm)	T (sec)	$V_{in}$ (m/sec)	$V_{in}^w$ (m/sec)	$L$ (cm)	H (cm)	$H_b$ (cm)	$H/L$	$H_0/L_0$	$h_0/L_0$	$x_b$ (cm)	$R_u$ (cm)	$R_u/H$	$R_u/H_0$	$\tau$ (%)
10-A-1	10.0	1.21	0.0	1.71	207	2.28	12.2	13.1	26.0	0.059	0.057	0.0439	27	10	22.6
" -2	"	2.2	2.2	1.72	210	—	12.3	—	24.0	0.063	—	—	27	15	21.3
" -3	"	1.23	4.5	1.73	213	—	11.7	—	20.0	0.055	—	—	12	10	21.4
" -4	"	1.23	6.7	1.74	214	—	11.8	—	20.0	0.055	—	—	17	13	21.0
10-B-1	10.0	1.38	0.0	1.84	254	2.97	11.8	12.9	18.5	0.046	0.043	0.0337	30	3	24.0
" -2	"	1.39	2.2	1.83	254	—	11.9	—	15.0	0.047	—	—	26	8	24.2
" -3	"	1.40	4.5	1.81	253	—	11.2	—	14.5	0.044	—	—	30	12	22.9
" -4	"	1.39	6.7	1.81	252	—	10.5	—	15.0	0.042	—	—	34	15	22.8
10-C-1	10.0	1.88	0.0	1.92	361	5.51	12.4	13.3	—	0.034	0.029	0.0192	—	—	27.4
" -2	"	1.86	2.2	1.97	366	—	12.7	—	—	0.035	—	—	—	—	26.6
" -3	"	1.87	4.5	1.91	357	—	13.6	—	14.0	0.038	—	—	0	0	26.2
" -4	"	1.88	6.7	1.93	363	—	12.4	—	13.0	0.034	—	—	0	0	27.2

表—5(a) 勾配 1:3

No.	$h_0$ (cm)	T (sec)	$V_{in}$ (m/sec)	$V_{in}^w$ (m/sec)	$L$ (cm)	$L_0$ (cm)	H (cm)	$H_b$ (cm)	$H/L$	$H_0/L_0$	$h_0/L_0$	$x_b$ (cm)	$R_u$ (cm)	$R_u/H$	$R_u/H_0$	$\tau$ (%)
0-A-1	0.0	1.22	0.0	1.59	194	232	12.1	13.0	12.0	0.062	0.056	0.0	15	75	8.2	
" -2	"	1.21	2.2	1.61	195	—	11.4	—	12.0	0.059	—	—	20	83	8.2	
" -3	"	1.21	4.5	1.61	195	—	11.1	—	14.0	0.057	—	—	22	85	7.8	
" -4	"	1.20	6.7	1.61	193	—	11.3	—	15.0	0.059	—	—	23	90	7.4	
0-B-1	0.0	1.40	0.0	1.70	238	306	10.6	11.6	16.5	0.045	0.038	0.0	35	89	10.4	
" -2	"	1.39	2.2	1.70	236	—	9.7	—	16.0	0.041	—	—	29	80	11.1	
" -3	"	1.39	4.5	1.70	236	—	10.3	—	14.5	0.044	—	—	30	85	10.3	
" -4	"	1.39	6.7	1.70	238	—	10.3	—	15.0	0.043	—	—	30	85	8.7	
0-C-1	0.0	1.89	0.0	1.90	359	555	7.3	7.8	11.5	0.020	0.014	0.0	62	68	11.3	
" -2	"	1.91	2.2	1.92	367	—	8.4	—	12.0	0.023	—	—	57	75	9.4	
" -3	"	1.92	4.5	1.90	365	—	8.4	—	13.0	0.023	—	—	54	78	9.7	
" -4	"	1.93	6.7	1.96	378	—	8.4	—	11.5	0.022	—	—	55	80	9.5	

表-5 (b) 勾配 1:3

No.	$h_1$ (cm)	T (sec)	$V_m$ (m/sec)	$\omega$ (m/sec)	L (cm)	H (cm)	$H_b$ (cm)	$H_0$ (cm)	$L_0$ (cm)	$H/L$	$H_0/L_0$	$h_1/L_0$	$x_b$ (cm)	$R_u$ (cm)	$R_u/H$	$R_u/H_0$	$F$ (%)	碎波状況	越波状況
5-A-1	5.0	1.20	0.0	1.70	204	2.24	16.2	17.4	-	16.0	0.079	0.0780	0.0223	17	58	12.7	0.73	13	巻波完全碎波、もどり流れゆるい、衝突点にしぶきがとぶ、
" -2	" 1.22	2.2	1.67	204	-	14.1	-	16.5	0.069	-	20	62	14.0	0.99	-	-	9	急な巻波で完全碎波	
" -3	" 1.21	4.5	1.69	204	-	14.2	-	16.0	0.070	-	20	57	13.5	0.95	-	-	19	100cmより碎けかける、少し崩れかけた巻波	
" -4	" 1.21	6.7	1.67	202	-	14.4	-	16.5	0.071	-	18	61	12.6	0.88	-	-	18	崩れ波、海くはい上る	
5-B-1	5.0	1.40	0.0	1.77	248	3.06	15.1	16.5	0.061	0.0540	0.0163	28	65	14.8	0.98	0.90	20	きれいな巻波で完全碎波もどり流れ弱い、	
" -2	" 1.41	2.2	1.76	248	-	15.1	-	12.0	0.061	-	28	68	14.4	0.95	-	-	17	巻波、完全碎波、もどり流れ弱い、	
" -3	" 1.40	4.5	1.76	246	-	15.1	-	15.0	0.061	-	23	62	14.2	0.94	-	-	17	しぶき越波ともなし	
" -4	" 1.40	6.7	1.75	245	-	15.0	-	16.0	0.061	-	28	70	13.8	0.92	-	-	15	しぶき越波ともなし	
5-C-1	5.0	1.92	0.0	1.87	358	5.72	10.9	11.6	0.034	0.0200	0.0087	49	28	18.1	1.66	1.56	15	巻波で碎波もどり流れとなる	
" -2	" 1.93	2.2	1.83	353	-	11.9	-	15.0	0.034	-	56	26	19.7	1.65	-	-	15	140cmより碎けかけて崩れ波となる	
" -3	" 1.94	4.5	1.82	355	-	12.0	-	16.0	0.034	-	49	34	19.1	1.59	-	-	25	巻波で、衝突点で碎波	
" -3	" 1.94	6.7	1.84	357	-	14.2	-	15.0	0.040	-	50	42	19.2	1.35	-	-	23	急な巻波で完全碎波	
																		32	巻波に近い崩れ波、けわしさが少しとれる

表-5 (c) 勾配 1:3

No.	$h^1$ (cm)	T (sec)	$V_m$ (m/sec)	$\omega$ (m/sec)	L (cm)	H (cm)	$H_b$ (cm)	$H_0$ (cm)	$L_0$ (cm)	$H/L$	$H_0/L_0$	$h_1/L_0$	$x_b$ (cm)	$R_u$ (cm)	$R_u/H$	$R_u/H_0$	$F$ (%)	碎波状況	越波状況
10-A-1	10.0	1.21	0.0	1.70	205	2.28	14.8	14.4	16.5	0.072	0.0700	0.0438	10	36	17.4	1.18	1.12	12	斜面のものもどり流れ、比較的強い、完全碎波
" -2	" 1.22	2.2	1.69	205	-	14.8	-	17.0	0.072	-	11	33	16.8	1.14	-	-	18	しぶきが起きる程強くなる	
" -3	" 1.21	4.5	1.71	207	-	14.2	-	17.0	0.069	-	10	30	17.3	1.22	-	-	23	波浪前面の最も長い巻波	
" -4	" 1.23	6.7	1.69	208	-	14.1	-	16.0	0.068	-	17	40	17.3	1.23	-	-	15	波尾前面の長い巻波	
10-B-1	10.0	1.40	0.0	1.80	252	3.06	14.5	16.9	17.0	0.058	0.0530	0.0327	15	3	18.7	1.23	1.22	18	衝突点明瞭でない、巻波、完全碎波
" -2	" 1.42	2.2	1.79	254	-	14.0	-	16.5	0.055	-	17	9	19.8	1.41	-	-	12	衝突点明瞭でない。きつい巻波、完全碎波	
" -3	" 1.39	4.5	1.83	254	-	13.8	-	18.0	0.054	-	15	12	19.4	1.40	-	-	10	一部部分碎けかけて完全碎波、崩れ波に近い巻波	
" -4	" 1.41	6.7	1.85	261	-	14.8	-	18.0	0.057	-	10	35	19.4	1.31	-	-	7	110cmより碎けかけて崩れる	
10-C-1	10.0	1.86	0.0	1.94	351	6.12	12.3	6.5	17.0	0.034	0.0210	0.0163	-	.16	-	-	2.02	前面で碎けなく、完全な碎波で停波	
" -2	" 1.88	2.2	1.95	367	-	13.7	-	17.0	0.037	-	-	-	-	-	-	36	相当量に越流する		
" -3	" 1.89	4.5	1.95	369	-	12.7	-	18.0	0.035	-	-	-	-	-	-	35	多い量に越流する		
" -4	" 1.85	6.7	1.93	357	-	14.2	-	19.0	0.040	-	-	-	-	-	-	40	30cmの所へ落する。		

$$V = 20 \text{ m/sec}$$

より越流量や、少少

表-7 曲線波返し堤における碎波および越波 勾配 1:0.6 胸壁部曲線  $r=7.25\text{cm}$ 

No.	$h_1$ (cm)	T (sec)	$V_m^w$ (m/sec)	$L$ (cm)	H (cm)	$H/L$	$x_b$ (cm)	$R_u$ (cm)	$\gamma$ (%)	碎波状況	越波状況
10-A-1	10.0	1.23	0.0	1.68	207	15.3	0.974	60	0	端よりはね返	やや多く越流する。バーベットより 50cm までなる。端よりはね返
" -2	"	1.23	2.2	1.72	21.2	13.2	0.662	60	0	端よりはね返	堤内、外の越波の比率 5 : 5
" -3	"	1.20	4.5	1.70	204	10.7	0.057	60	0	端よりはね返	ほとんど堤内地へ越波する(はいりによるもの)。堤内、外の比率 8 : 2
" -4	"	1.24	6.7	1.68	208	10.6	0.051	63	0	端よりはね返	衝突点からもれいりによるものからも大量に越流する。越波長 250cm 比率 10 : 1
10-B-1	10.0	1.40	0.0	1.82	234	15.5	0.661	75	0	端より静波	衝突点からもれいり前面 75cm の所へとんどばが返る。比率 1 : 9
" -2	"	1.37	2.2	1.77	242	12.8	0.053	75	10	端より静波	衝突点からもれいり前面 75cm の所へとんどばが返る。比率 5 : 5
" -3	"	1.41	4.5	1.80	252	14.5	0.058	73	0	端より静波	衝突点からもれいり前面 75cm の所へとんどばが返る。比率 9 : 1
" -4	"	1.42	6.7	1.81	257	10.9	0.042	75	0	端より静波	衝突点からもれいり前面 75cm の所へとんどばが返る。比率 10 : 1

表-8 勾配 1:0.6 胸壁部斜面

No.	$h_1$ (cm)	構造	造	T (sec)	$V_m^w$ (m/sec)	L (cm)	H (cm)	$H/L$	$x_b$ (cm)	$R_u$ (cm)	$R_u/H$ 越波長 (%)	$\gamma$ (%)	碎波状況	越波状況				
10-A-1	10.0	アロックなし	端	直	1.20	0.0	1.70	204	12.8	0.063	60	—	20.0	1.56	0	41 碎波しない		
" -2	"	アロックなし	端	直	"	2.2	"	13.5	0.066	50	—	—	70	35	130cm より碎けかけて壁にぶつかる	衝突点より非常に多くの水塊が壁の限元までとびこみ、又時々や多く越波する。時々衝突点からの越波がある。あるいはかららの越波量や多い		
" -3	"	アロックなし	端	直	"	4.5	"	13.0	0.064	55	0	—	120	31	壁根元で碎波し強くあたる。110cm より砕けかける	衝突点かららの越波量や多い		
" -4	"	アロックなし	端	直	"	6.7	"	12.8	0.063	50	0	—	160	22	"	衝突点よりわざがいしぶきがとびいりは垂直に S.W. 上 35cm までとぶ		
10-B-1	10.0	アロックなし	端	斜	直	1.40	0.0	1.80	251	11.8	0.047	70	—	35.0	2.95	0	45 碎けない、強く壁にぶつかる。重波的要素少し入る。壁より港内側 20cm で碎波する。弱く壁にぶつかる	衝突点よりわざがいしぶきがとびいりは垂直に S.W. 上 35cm までとぶ
" -2	"	アロックなし	端	斜	"	2.2	"	11.8	0.047	65	—	—	110	36	壁にぶつかるが、壁より港内側 20cm で碎波する。弱く壁にぶつかる	衝突点よりわざがいしぶきがとびいりは垂直に S.W. 上 35cm までとぶ		
" -3	"	アロックなし	端	斜	"	4.5	"	11.3	0.045	65	0	—	150	29	壁にぶつかるが、壁より港内側 20cm で碎波する。やや強く壁にぶつかる	衝突点よりわざがいしぶきがとびいりは垂直に S.W. 上 35cm までとぶ		
" -4	"	アロックなし	端	斜	"	6.7	"	11.8	0.047	70	0	—	190	28	140cm より碎波しおかげである。	衝突点よりわざがいしぶきがとびいりは垂直に S.W. 上 35cm までとぶ		

表-9 勾配 1:0.6

No.	$h_1$ (cm)	T (sec)	$V_m^w$ (m/sec)	$L$ (cm)	$H$ (cm)	$H/L$	$H_0$ (cm)	$H_0/L_0$	$x_b$ (cm)	$R_u$ (cm)	$R_u/H$	$R_u/H_0$ (%)	碎波状況	越波状況			
5-A-1	5.0	1.20	0.0	1.61	193	2.24	13.1	—	0.068	0.0630	0.0223	45	75	10.6	0.81	0.75	7 120cm位より碎け始める。
" -2	"	1.22	2.2	1.56	190	—	12.7	—	0.067	—	—	48	60	12.9	1.02	—	0 碎波に近い碎波
" -3	"	1.20	4.5	1.62	194	—	13.2	—	0.068	—	—	55	63	13.5	1.02	—	7 " 碎波に近い碎波
" -4	"	1.20	6.7	1.62	194	—	14.0	—	0.072	—	—	48	70	12.1	0.86	—	7 190cmより碎け始める
5-B-1	5.0	1.40	0.0	1.74	244	3.05	10.5	—	0.043	0.0380	0.0163	75	70	12.3	1.17	1.07	8 衝突点より碎け始める
" -2	"	1.41	2.2	1.71	241	—	11.3	—	0.047	—	—	70	65	14.1	1.25	—	6 衝突点より碎け始める
" -3	"	1.41	4.5	1.73	244	—	10.9	—	0.045	—	—	75	65	12.1	1.11	—	7 衝突点より碎け始める
" -4	"	1.42	6.7	1.68	240	—	11.5	—	0.048	—	—	65	63	10.4	0.90	—	7 衝突点より碎け始める
5-C-1	5.0	1.38	0.0	1.75	326	5.38	10.9	—	0.034	0.0220	0.0033	100	105	22.4	2.05	1.91	10 衝突するまで碎けない
" -2	"	1.91	2.2	1.75	335	—	10.0	—	0.038	—	—	105	21.8	2.18	—	4 衝突するまで碎けない	
" -3	"	1.79	4.5	1.90	341	—	9.5	—	0.038	—	—	100	21.8	2.29	—	4 衝突するまで碎けない	
" -4	"	1.90	6.7	1.90	357	—	11.3	—	0.031	—	—	95	20	13.9	1.67	—	2 衝突する

表一〇 勾配 1:0.6 消波構造設置 (その1)

No.	$h_1$ (cm)	構 造	T (sec)	$V_m$ (m/sec)	$\omega$ (rad/sec)	L (cm)	H (cm)	$H/L$	$x_b$ (cm)	$R_u/H$	$R_v/H$	$r$ (%)	碎 波 状 況	
5-A-1	5.0	$h_1=0$ 上 13cm に中空ブロック	1.20	0.0	1.60	192	13.0	0.068	高められず	65	0	0	32 ブロック前面法にて沿うてはい上る。透波、碎波、もどり	
" -2	"	"	"	2.2	"	"	"	"	"	45	"	21	" ブロック前面法にて沿うてはい上る。透波が多めに波がどくわざかのしぶきが発生する。プロック前面法よりこくわざかのしぶきが発生する。	
" -3	"	"	"	4.5	"	"	"	"	"	50	"	26	" "	
" -4	"	"	"	6.7	"	"	"	"	"	45	"	12	140cm より碎けかける	
5-B-1	5.0	"	"	1.40	0.0	1.70	238	11.0	0.046	高められず	40	5.0	45	5 駆波した後ブロックの上層にて沿うてはい上る。もどり
" -2	"	"	"	2.2	"	"	"	"	"	45	"	6.0	56	16 透波弱い、透波 $r=0$ やや強く壁にあたる
" -3	"	"	"	4.5	"	"	"	"	"	10.8	0.045	"	70	7.6 0.65 21 130cm の所より碎けかける。 $V_p=10 \text{ m/sec}$ よりやや強く壁にあたる。
" -4	"	"	"	6.7	"	"	"	"	"	12.3	0.052	"	60	7.5 0.61 22 160cm の所より碎けかける。やや強く壁に当たる。
5-C-1	5.0	"	"	1.90	0.0	1.90	361	9.8	0.027	高められず	0	0	28 壁面 35cm のブロックにて透行波がどくわざかある。壁波しないままである。	
" -2	"	"	"	2.2	"	"	"	"	"	9.8	0.027	"	30	" 33 "
" -3	"	"	"	4.5	"	"	"	"	"	11.0	0.030	"	45	" 36 "
" -4	"	"	"	6.7	"	"	"	"	"	10.8	0.030	"	45	" 36 " 120cm より碎けかける。崩れ波に近い。 "

表一一 勾配 1:0.6 消波構造設置 (その2)

No.	$h_1$ (cm)	構 造	T (sec)	$V_m$ (m/sec)	$\omega$ (rad/sec)	L (cm)	H (cm)	$H/L$	$x_b$ (cm)	$R_u/H$	$R_v/H$	$r$ (%)	碎 波 状 況
10-A-1	10.0	$h_1=0$ 上 17cm に中空ブロック	1.20	0.0	1.70	360	13.8	0.068	高められず	50	12.0	87	29 透波、碎波、やや弱く壁にあたる。
" -2	"	"	"	2.2	"	"	"	"	"	13.0	0.064	"	45 11.0 0.85 23 100cm より碎けかけ透波、碎波、壁にやや強くあたる。
" -3	"	"	"	4.5	"	"	"	"	"	13.0	0.064	"	48 100cm より碎けかけ透波、碎波、壁にやや強くあたる。
" -4	"	"	"	6.7	"	"	"	"	"	13.0	0.064	"	70 100cm より碎けかけ透波、碎波、壁にやや強くあたる。
10-B-1	10.0	"	"	1.40	0.0	1.80	251	13.5	0.054	高められず	35	11.0	81 11 透波、碎波、比較的強く壁にあたる。
" -2	"	"	"	2.2	"	"	"	"	"	13.8	0.055	"	33 11.0 0.86 20 120cm ~ 130cm より碎けかけ透波、碎波、壁にやや強くあたる。
" -3	"	"	"	4.5	"	"	"	"	"	12.8	0.051	"	35 110cm より碎けかけ透波、碎波、壁にやや強くあたる。
" -4	"	"	"	6.7	"	"	"	"	"	13.8	0.055	"	45 15.0 1.09 29 120cm ~ 130cm より碎けかけ透波、碎波、壁にやや強くあたる。
10-C-1	10.0	"	"	1.90	0.0	2.00	294	8.9	0.023	高められず	-	40	45 35 路波なく、弱く前面 30cm のブロックにて沿うむ
" -2	"	"	"	2.2	"	"	"	"	"	8.5	0.022	"	- 40 47 41 "
" -3	"	"	"	4.5	"	"	"	"	"	9.3	0.024	"	- 40 43 35 "
" -4	"	"	"	6.7	"	"	"	"	"	10.6	0.028	"	- 50 47 26 130cm より碎けかけする。とびとら点 22cm "

表-12 関西電力第3発電所、前面防潮堤風浪実験

No.	高さ(m) (T.P.+)	断面形状および 消波ブロックの種類	T (sec)	H (cm)	H/L	V <sub>m</sub> (m/sec)	R <sub>u</sub> (cm)	R <sub>u</sub> /H	越波状況
1-1	3.00	断面図-26 中空 1.6t 12個/m	1.95	10.0	0.037	0.0	17.0	1.7	所々、天端上 3~4cm まではいる。そしてわざかに越波する
1-2	3.00	"	1.50	11.5	0.042	4.5	15.0	1.3	衝突点よりわざかのしぶきが越す。はい上った所より。相当多く越波する
2-1	2.50	"	1.50	10.0	0.037	0.0	13.0	1.3	越波、越波なし
2-2	2.50	"	1.54	9.0	0.034	4.5	8.0	0.9	とびこみ点よりわざかの跳波あり、越波なし。正面 45cm の所で越波とびこむ
3-1	2.25	"	1.52	10.0	0.045	0.0	5.5	0.6	正面 45cm の所でごくわざかの跳波、越波なし
3-2	2.25	"	1.54	8.5	0.032	4.5	5.0	0.6	"

表-13

No.	高さ(m) (T.P.+)	断面形状および 消波ブロックの種類	T (sec)	H (cm)	H/L	V <sub>m</sub> (m/sec)	R <sub>u</sub> (cm)	R <sub>u</sub> /H	越波状況
1-3	3.00	断面図-27 中空 2t 11個/m	1.52	10.5	0.039	0.0	17.5	1.6	全波で崩れずにぶつかり、その点よりわざかの跳波がある
1-4	3.00	"	1.50	11.0	0.044	4.5	10.5	1.0	やや多く跳波が越す(ぶつかった点より)
2-3	2.50	"	1.50	10.0	0.038	0.0	—	—	とびこみ点より、壁に沿うてのはい上りはない
2-4	2.50	"	1.52	9.5	0.037	4.5	—	—	とくわざかの跳波があるが越えない
1-5	3.00	断面図-27 チトラボック 2t, 12個/m	1.50	10.0	0.038	0.0	(所々 19.0t 上あり) 17.5	1.6	所々天端上 5cm 位まではいることがあり、わざかに越す
1-6	3.00	"	1.50	10.0	0.038	4.5	(19.0t 上の相当あり) 17.0	1.5	とびこみ点より相当量のしぶきが越す。壁にそぞうでは大量に越す
2-5	2.50	"	1.50	10.0	0.038	0.0	—	—	跳波ごくわざか、越波なし
2-6	2.50	"	1.50	10.0	0.038	4.5	—	—	"

表-14

No.	高さ(m) (T.P.+)	断面形状および 消波ブロックの種類	T (sec)	H (cm)	H/L	V <sub>m</sub> (m/sec)	R <sub>u</sub> (cm)	R <sub>u</sub> /H	越波状況
1-7	3.00	断面図-28 中空 2t 12個/m	1.48	10.5	0.039	0.0	—	—	越波、跳波なし、はい上り見られず
1-8	3.00	"	1.48	10.5	0.037	4.5	—	—	とびこみ点より、ごくわざかのしぶきがとぶのみ。越波せず、ほとんどはい上らず
2-7	3.00	断面図-28 チトラボック 2t, 14個/m	1.45	11.5	0.043	0.0	2.9	1.3	ごくわざかのしぶきがとぶのみ。越波なし
2-8	3.00	"	1.50	11.0	0.042	4.5	—	—	ごくわざかのしぶきがとびこみ点よりであるのみ。越波なし、ほとんどはい上らず

No.	$h_1$ (cm)	構 造	造 造	$T$ (sec)	$V_m$ (m/sec)	$\omega$ (sec) <sup>-1</sup>	$L$ (cm)	$H$ (cm)	$H/L$	$x_e$ (cm)	$x_b$ (cm)	$R_u/H$	$R_u/H$ (%)	碎 波 お よ び 越 波 状 況	
A-1	0.5	(消波構造なし)	A断面	1.21	0.0	1.51	183	11.6	0.063	60	65	1.06	12.3	—	
"-2	"	"	"	1.25	2.2	1.51	183	9.6	0.051	50	50	1.18	11.3	—	
"-3	"	"	"	1.25	4.5	1.46	183	9.9	0.054	60	65	1.24	12.3	—	
"-4	"	"	"	1.25	6.7	1.46	183	10.4	0.057	60	55	1.09	11.3	—	
B-1	0.5	(消波構造なし)	A断面	1.46	0.0	1.59	232	9.0	0.039	65	70	1.99	17.9	—	
"-2	"	"	"	1.41	2.4	1.53	228	9.4	0.041	70	65	2.31	21.7	—	
"-3	"	"	"	1.42	4.5	1.63	232	9.7	0.042	70	75	1.65	16.0	—	
"-4	"	"	"	1.44	6.7	1.59	229	9.1	0.037	70	75	1.66	15.1	—	
C-1	3.0	(消波構造なし)	A断面	1.19	0.0	1.54	183	8.1	0.044	—	18	14.0	1.73	—	
"-2	"	"	"	1.20	2.2	—	—	8.0	—	—	13	$\frac{R_u}{H} \cdot \frac{S_p}{H}$	$\frac{R_u}{H} \cdot \frac{S_p}{H}$	—	
"-3	"	"	"	1.24	4.5	1.57	195	9.8	0.050	—	$-\frac{10}{38.0} \cdot \frac{3.98}{1.02}$	—	—	—	
D-1	3.0	(消波構造なし)	A断面	1.38	0.0	1.61	222	8.3	0.037	70	1615.0	30.0	1.85	3.62	0
"-2	"	"	"	1.36	6.7	1.64	223	9.7	0.044	70	-16.0	35.0	1.65	3.61	0
E-1	3.0	中25アプローチ2t 122個 前面A-1	断面	1.40	0.0	1.61	225	9.0	0.040	—	1513.0	0.0	1.44	0.0	22
"-2	"	"	"	1.40	4.5	1.61	226	9.0	0.040	"	15	9.0	0.0	1.00	0
"-3	"	"	"	1.40	6.7	1.61	226	9.0	0.040	"	17	7.0	0.0	0.78	0
F-1	3.0	トランポ2t 122個 前面A-2	断面	1.40	0.0	1.61	226	9.0	0.040	—	2714.0	0.0	1.56	0.0	16
"-2	"	"	"	1.40	4.5	1.61	226	9.0	0.040	"	2711.0	0.0	1.22	0.0	—
"-3	"	"	"	1.40	6.7	1.61	226	9.0	0.040	"	1613.0	0.0	1.44	0.0	22
表-16															
No.	$h_1$ (cm)	構 造	造 造	$\tilde{T}$ (sec)	$V_m$ (m/sec)	$\omega$ (sec) <sup>-1</sup>	$L$ (cm)	$H$ (cm)	$H/L$	$x_e$ (cm)	$x_b$ (cm)	$R_u/H$	$R_u/H$ (%)	碎 波 お よ び 越 波 状 況	
A-1	0.5	(消波構造なし)	B断面	1.40	0.0	1.61	226	9.0	0.040	50	2523.0	30.0	2.56	3.34	0
"-2	"	"	"	1.40	2.2	1.61	226	9.0	0.040	45	3019.0	39.0	2.20	4.34	0
"-3	"	"	"	1.40	4.5	1.61	226	9.0	0.040	45	3018.0	30.0	1.85	3.34	0
B-1	0.5	中25アプローチ2t 122個 前面B-1	断面	1.40	0.0	1.61	226	9.0	0.040	—	3512.0	0.0	1.33	0.0	48
"-2	"	"	"	1.40	2.2	1.61	226	9.0	0.040	"	4510.0	0.0	1.06	0.0	52
"-3	"	"	"	1.40	4.5	1.61	226	9.0	0.040	"	45	8.0	0.0	0.85	0